



**Нижегородский государственный университет  
им. Н.И.Лобачевского**

***Факультет Вычислительной математики и кибернетики***

***Параллельные численные методы***

**Решение разреженных СЛАУ**

*При поддержке компании Intel*

Баркалов К.А.,  
Кафедра математического обеспечения ЭВМ

# Содержание

---

- ❑ Разреженные матрицы
  - Понятие, форматы хранения
- ❑ Разложение Холецкого для разреженных матриц
  - Проблема заполнения фактора, переупорядочивание матрицы как метод снижения заполненности
- ❑ Графовая модель системы уравнений
  - Последовательность графов исключения, дерево исключения
- ❑ Переупорядочивание матрицы
  - Метод минимальной степени
  - Метод вложенных сечений
  - Ресурсы для параллелизма
- ❑ Примеры работы алгоритмов переупорядочивания



# Разреженные матрицы

- Разреженная матрица – это матрица порядка  $N$ , в которой:
  - Малый процент ненулевых элементов; или
  - $O(N)$  ненулевых элементов; или
  - В каждой строке не более  $k \ll N$  ненулевых элементов.
- Разреженная матрица – это матрица, для которой:
  - Есть алгоритмы, учитывающий разреженность, более эффективные, чем «плотные» алгоритмы.
- Обработка разреженных матриц: нетривиальные алгоритмы
- Хранение разреженных матриц: особый формат
  - матрица размера  $N \times N$ ,
  - $NZ$  ненулевых элементов
  - $NZ \ll N^2$



# Координатный формат

- ❑ Матрица хранится в виде трех массивов:
  - Массив значений *Value*
  - Массив номеров строк *Row*
  - Массив номеров столбцов *Col*

**A**

1				2	
		3	4		
			8		5
	7	1			6

**Структура хранения:**

1	2	3	4	8	5	7	1	6
---	---	---	---	---	---	---	---	---

*Value*

0	0	1	1	3	3	5	5	5
---	---	---	---	---	---	---	---	---

*Row*

0	4	2	3	3	5	1	2	5
---	---	---	---	---	---	---	---	---

*Col*



# Координатный формат

- ❑ Объем памяти для хранения в разных форматах:
  - Плотный:  $M = 8 N^2$  байт
  - Координатный:  $M = 8 NZ + 4 NZ + 4 NZ = 16 NZ \ll 8 N^2$ .
- ❑ Координатный формат:
  - Упорядоченный (по строкам/столбцам)
    - Быстрый доступ к строкам/столбцам
    - Перепаковки при вставке/удалении элементов
  - Неупорядоченный
    - «Переборный» доступ к элементам
    - Быстрая вставка/удаление элементов
- ❑ В целом координатный формат прост в реализации, но недостаточно эффективен (память, быстродействие)



# Разреженный строчный формат

- ❑ Широко известен как CRS (Compressed Row Storage) или CSR(Compressed Sparse Rows);
- ❑ Матрица хранится в виде трех массивов:
  - Массив значений *Value* (построчно, сверху вниз);
  - Массив номеров столбцов *Col*;
  - Массив индексов начала строк *RowIndex* в массиве *Col*.
- ❑  $RowIndex[i]$  указывает на начало  $i$ -ой строки
- ❑ Элементы строки  $i$  в массиве *Value* находятся по индексам от  $RowIndex[i]$  до  $RowIndex[i + 1] - 1$  включительно
  - Обработываются пустые строки ( $RowIndex[i] = RowIndex[i + 1]$ )
  - Единообразно обрабатывается последняя строка ( $RowIndex[N+1]=NZ$  ).



# Разреженный строчный формат

- Объем памяти для хранения в разных форматах:
  - Плотный:  $M = 8 N^2$  байт
  - Координатный:  $M = 16 NZ$ .
  - CRS :  $M = 8 NZ + 4 NZ + 4 (N + 1) = 12 NZ + 4 N + 4$

**A**

1				2	
		3	4		
			8		5
	7	1			6

**Структура хранения:**

1	2	3	4	8	5	7	1	6
---	---	---	---	---	---	---	---	---

*Value*

0	4	2	3	3	5	1	2	5
---	---	---	---	---	---	---	---	---

*Col*

0	2	4	4	6	6	9
---	---	---	---	---	---	---

*RowIndex*

# Модификации формата CRS

- ❑ В CRS строки рассматриваются по порядку (быстрый доступ к строке), но элементы внутри строки могут быть:
  - Упорядочены (быстрый поиск элемента, нужно поддерживать упорядоченность);
  - Не упорядочены (переборный поиск, упорядоченность не поддерживается).
- ❑ CRS с четырьмя массивами.
  - Три массива – аналогично CRS.
  - Четвертый массив хранит индексы элементов, идущих в конце строки.
  - строки могут не быть упорядочены (перестановка строк проводится без перепакетки, только изменением индексов).





# Разреженный столбцовый формат

- ❑ Широко известен как CCS (Compressed Column Storage) или CSR(Compressed Sparse Columns);
- ❑ Матрица хранится в виде трех массивов:
  - Массив значений *Value* (построчно, сверху вниз);
  - Массив номеров строк *Row*;
  - Массив индексов начала столбцов *ColIndex*.
- ❑  $ColIndex[j]$  указывает на начало  $j$ -го столбца
- ❑  $j$ -й столбец в массиве *Value* находится по индексам от  $ColIndex[j]$  до  $ColIndex[j + 1] - 1$  включительно
  - Обрабатываются пустые столбцы ( $ColIndex[j] = ColIndex[j + 1]$ )
  - Единообразно обрабатывается последний столбец ( $ColIndex[N+1]=NZ$  ).



# Разреженный столбцовый формат

- ❑ Объем памяти CCS равен CRS
- ❑ Быстрый доступ к столбцам
- ❑ Модификации – аналогично CRS

**A**

1				2	
		3	4		
			8		5
	7	1			6

**Структура хранения:**

1	7	3	1	4	8	2	5	6
---	---	---	---	---	---	---	---	---

*Value*

0	5	1	5	1	3	0	3	5
---	---	---	---	---	---	---	---	---

*Row*

0	1	2	4	6	7	9
---	---	---	---	---	---	---

*ColIndex*

# Другие форматы хранения

- ❑ Ленточная матрица
  - Храним только ленту в виде набора массивов.
- ❑ Матрица с плотной диагональю
  - Диагональ хранится в массиве *Diag*.
  - Остальные элементы матрицы хранятся в разреженном формате
- ❑ Симметричная матрица
  - Храним только верхний треугольник (в разреженном формате)
- ❑ Блочная матрица с плотными блоками
  - Блоки хранятся в разреженном формате
  - Элементы внутри блока хранятся в плотном формате

# Умножение матрицы на вектор

□ Исходные данные:

- Разреженная матрица  $A(N \times M)$  в формате CRS
- Плотный вектор  $x$

□ Найти:  $c = Ax$ , 
$$c_i = \sum_{j=1}^N a_{ij} x_j$$

□ Формат CRS - эффективный доступ к строкам  $A$

```
For i := 1 to N
```

```
    y[i] := 0;
```

```
    for j := RowIndex[i] to (RowIndex[i + 1] - 1)
```

```
        y[i] := y[i] + Value[j] * x[Col[j]];
```

```
    endfor
```



# Транспонирование матрицы

- Дано: разреженная матрица  $A(N \times N)$  в формате CRS
- Найти:  $A^T$  в формате CRS
- Алгоритм
  - Сформируем  $N$  «целых» и  $N$  «вещественных» векторов.
  - В цикле просматриваем все строки исходной матрицы, для каждой строки – все ее элементы.
  - Пусть  $A[i][j] = v$ . Тогда добавим числа  $i$  и  $v$  в  $j$ -ые «целый» и «вещественный» вектора. Тем самым в векторах мы сформируем строки транспонированной матрицы.
  - Скопируем данные из векторов в CRS-структуру транспонированной матрицы (**Col** и **Value**), попутно формируя массив **RowIndex**.



# Транспонирование матрицы

	3		7
		8	
9		15	16

A

3	7	8	9	15	16
---	---	---	---	----	----

*Value*

1	3	2	0	2	3
---	---	---	---	---	---

*Col*

0	2	3	3	6
---	---	---	---	---

*RowIndex*

$A^T$

3	
0	
1	3
0	3

*IntVectors*

9	
3	
8	15
7	16

*DoubleVectors*

			9
3			
	8		15
7			16

9	3	8	15	7	16
---	---	---	----	---	----

*Value*

3	0	1	3	0	3
---	---	---	---	---	---

*Col*

0	1	2	4	6
---	---	---	---	---

*RowIndex*

# Умножение разреженных матриц

- Дано:  $A(N \times M)$ ,  $B(N \times M)$  в формате CRS
- Найти:  $C=AB$  в формате CRS
- Алгоритм
  - Транспонировать матрицу  $B$ , т.е. вычислить  $B^T$ .
  - Инициализировать структуру данных для матрицы  $C$ .
  - Последовательно перемножить каждую строку матрицы  $A$  на каждую из строк матрицы  $B^T$ , записывая в  $C$  полученные результаты и формируя ее структуру. При умножении строк реализовать сопоставление с целью выделения пар ненулевых элементов.



# Умножение разреженных строк матриц A и B

- Простейший вариант: для каждого элемента строки матрицы A перебираем все элементы строки матрицы  $B^T$ , пока не будет найден элемент с таким же значением в массиве **Col** или не кончится строка.

```
for k:=A.RowIndex[i] to (A.RowIndex[i+1]-1)
  for l:=B.RowIndex[j] to (B.RowIndex[j+1]-1)
    if A.Col[k]=B.Col[l] then
      sum = sum + A.Value[k]* B.Value[l];
      break;
    endif
  endfor
endfor
```





# Умножение разреженных строк матриц A и B

- ❑ Вектора упорядочены!
- ❑ Оптимизированный вариант (аналог слияния двух отсортированных массивов в один с сохранением упорядочивания)
  - Встать на начало обоих векторов (**ks** = ..., **ls** = ...).
  - Сравнить текущие элементы **A.Col[ks]** и **B.Col[ls]**.
  - Если значения совпадают, просуммировать **A.Value[ks] \* B.Value[ls]** и увеличить оба индекса, в противном случае – увеличить один из индексов, в зависимости от того, какое значение больше.



# Умножение разреженных строк матриц A и B

```
ks:=A.RowIndex[i]; kf:=A.RowIndex[i + 1] - 1
ls:= B.RowIndex[j]; lf:= B.RowIndex[j + 1] - 1
while ((ks <= kf) && (ls <= lf))
    if A.Col[ks]<B.Col[ls] then ks:=ks+1;
    else if A.Col[ks]>B.Col[ls] then ls:=ls+1;
    else
        sum:=sum + A.Value[ks]*B.Value[ls];
        ks:=ks+1;ls:=ls+1;
    endif;
endif
endwhile
```



# Разложение Холецкого

- Рассмотрим систему уравнений  $Ax=b$
- Идея метода:  $A=LL^T$ , где  $L$  – нижняя треугольная матрица

for i = 1 to n

for k = 1 to i – 1

$$a_{ii} = a_{ii} - (a_{ik})^2;$$

$$a_{ii} = \text{sqrt}(a_{ii});$$

for j = i+1 to n

for k = 1 to i – 1

$$a_{ji} = a_{ji} - a_{ik} a_{jk};$$

$$a_{ji} = a_{ji} / a_{ii};$$

end

end

$$l_{ii} = \sqrt{a_{ii} - \sum_{k=1}^{i-1} l_{ik}^2}$$
$$l_{ij} = \frac{1}{l_{jj}} \left( a_{ij} - \sum_{k=1}^{j-1} l_{ik} l_{jk} \right)$$

- Будут ли особенности в случае разреженной матрицы  $A$ ?



# Пример решения разреженной системы

- Пример: стреловидная матрица (5×5)
- Решение:  $x^T = [2, 2, 1, 8, 0.5]$
- Фактор  $L$  претерпевает *заполнение* (обычно)
  - доп. память
  - доп. действия
    - при разложении
    - при обратном ходе
  - плохие свойства для распараллеливания.

$$\begin{bmatrix} 4 & 1 & 2 & 0.5 & 2 \\ 1 & 0.5 & 0 & 0 & 0 \\ 2 & 0 & 3 & 0 & 0 \\ 0.5 & 0 & 0 & 0.625 & 0 \\ 2 & 0 & 0 & 0 & 16 \end{bmatrix} \begin{bmatrix} x_1 \\ x_2 \\ x_3 \\ x_4 \\ x_5 \end{bmatrix} = \begin{bmatrix} 17 \\ 3 \\ 7 \\ 6 \\ 12 \end{bmatrix}$$

$$L = \begin{bmatrix} 2 & 0 & 0 & 0 & 0 \\ 0.5 & 0.5 & 0 & 0 & 0 \\ 1 & -1 & 1 & 0 & 0 \\ 0.25 & -0.25 & -0.5 & 0.5 & 0 \\ 1 & -1 & -2 & -3 & 1 \end{bmatrix}$$

# Пример решения разреженной системы

- ❑ Переупорядочим уравнения (перенумеруем переменные)

$$y_i = x_{i+1}, y_5 = x_1$$

- ❑ Проведем факторизацию
- ❑ Решение:  $y^T = [2, 1, 8, 0.5, 2]$ .
- ❑ Фактор разрежен в той же мере, что и исходная матрица:
  - экономия памяти
  - экономия операция
  - появляется ресурс для параллелизма!

$$\begin{bmatrix} 0.5 & 0 & 0 & 0 & 1 \\ 0 & 3 & 0 & 0 & 2 \\ 0 & 0 & 0.625 & 0 & 0.5 \\ 0 & 0 & 0 & 16 & 2 \\ 1 & 2 & 0.5 & 2 & 4 \end{bmatrix} \begin{bmatrix} y_1 \\ y_2 \\ y_3 \\ y_4 \\ y_5 \end{bmatrix} = \begin{bmatrix} 3 \\ 7 \\ 6 \\ 12 \\ 17 \end{bmatrix}$$

$$L = \begin{bmatrix} 0.707 & 0 & 0 & 0 & 0 \\ 0 & 1.732 & 0 & 0 & 0 \\ 0 & 0 & 0.79 & 0 & 0 \\ 0 & 0 & 0 & 4 & 0 \\ 1.414 & 1.154 & 0.632 & 0.5 & 0.129 \end{bmatrix}$$

# Решение разреженных систем

- В общем случае: домножение на матрицу перестановки
- Матрица перестановки  $P$ : в каждой строке и столбце матрицы находится лишь один единичный элемент

$$Ax=b \rightarrow (PA P^T)(Px)=Pb$$

- В примере

Матрица  $Q$  дает схожий результат

$$P = \begin{bmatrix} 0 & 1 & 0 & 0 & 0 \\ 0 & 0 & 1 & 0 & 0 \\ 0 & 0 & 0 & 1 & 0 \\ 0 & 0 & 0 & 0 & 1 \\ 1 & 0 & 0 & 0 & 0 \end{bmatrix}$$

$$Q = \begin{bmatrix} 0 & 0 & 0 & 0 & 1 \\ 0 & 0 & 0 & 1 & 0 \\ 0 & 0 & 1 & 0 & 0 \\ 0 & 1 & 0 & 0 & 0 \\ 1 & 0 & 0 & 0 & 0 \end{bmatrix}$$

# Решение разреженных систем

- Общая схема решения:
  - *Переупорядочивание* (поиск матрицы перестановки  $P$ );
  - *Символическое разложение* (построение портрета  $L$ );
  - *Численное разложение* (вычисление значений  $L$ );
  - *Обратный ход* (решение двух треугольных систем).
- Основная проблема – построение матрицы  $P$ .
  - задача NP-трудная;
  - используются эвристические алгоритмы
    - метод минимальной степени;
    - метод вложенных сечений.
- Рассмотрим графовую модель задачи разложения



# Сведения из теории графов

- Неориентированный граф  $G$  можно представить в виде упорядоченной пары множеств

$$G=(V, E), V=\{1, \dots, n\}, E=\{(e_1, e_2) \subseteq V \times V\}$$

$V$  – множество вершин,  $E$  – множество ребер.

- Вершины  $x, y$  – смежные, если  $(x, y) \in E$ .
- Множество вершин, смежных данной вершине  $x$

$$Adj(x) = \{y \in V : (x, y) \in E\}$$

- Мощность данного множества – степень вершины  $x$

$$deg(x) = |Adj(x)|$$





# Сведения из теории графов

□ *Клика* – подмножество вершин, каждые две из которых соединены ребром (полный подграф исходного графа).

□ Граф  $G=(V, E)$  можно задать с помощью *матрицы смежности* – матрицы  $A=(a_{ij})$ ,  $n \times n$ , такой, что

$$a_{ij} = \begin{cases} \neq 0, & (i, j) \in E, \\ 0, & (i, j) \notin E. \end{cases}$$

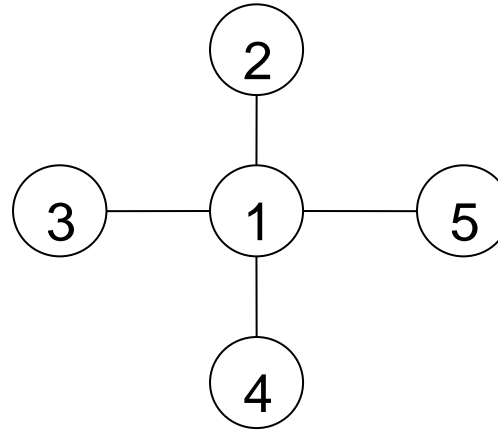
□ Любую симметричную матрицу можно рассматривать как матрицу смежности неориентированного графа.

$Ax=b \rightarrow$  граф с матрицей смежности  $A$ .

# Пример графового представления

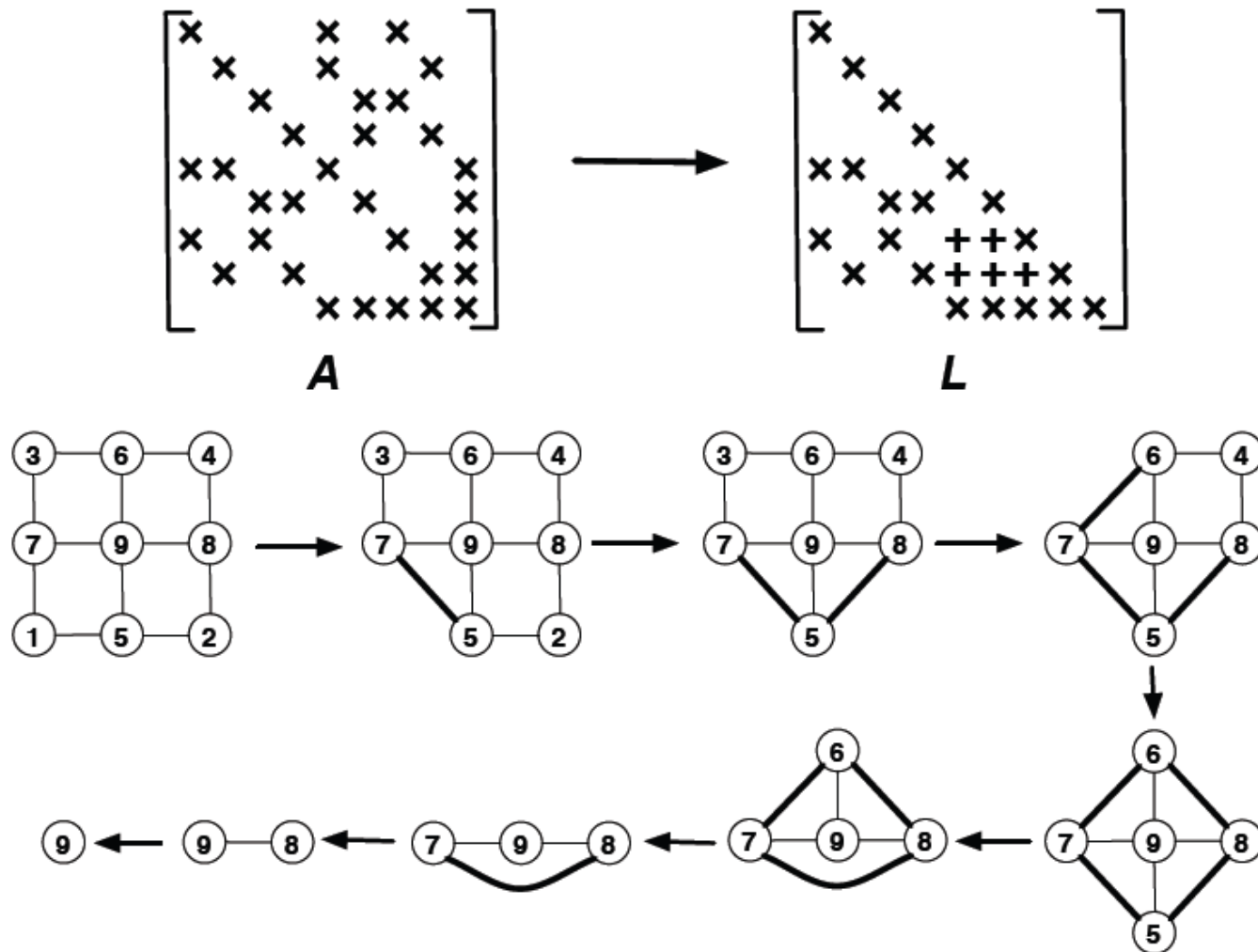
- Стреловидная матрица  $\leftrightarrow$  граф с матрицей смежности

$$\begin{bmatrix} * & * & * & * & * \\ * & * & & & \\ * & & * & & \\ * & & & * & \\ * & & & & * \end{bmatrix}$$



- Из графа исключены петли, соответствующие диагональным элементам матрицы

# Последовательность графов



Parallel Numerical Algorithms, Department of Computer Science  
University of Illinois at Urbana-Champaign, <http://www.cse.illinois.edu/courses/cs554/>

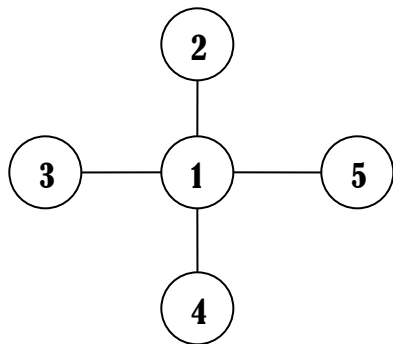
# Метод минимальной степени

1. Инициализация –  $G_0=(V,E)$ ,  $i=1$ ;
  2. В графе  $G_{i-1}$  выбрать узел  $x$  с минимальной степенью
  3. Построить  $G_i=(V_i,E_i)$ , исключив из  $G_{i-1}$  узел  $x$ . Номер исключенной вершины записать в перестановку  $\pi$ .
  4. Если  $i>|V|$  то стоп  
иначе  $i=i+1$ , перейти на шаг 2.
- Если вершин с минимальной степенью несколько, выбирается любая.

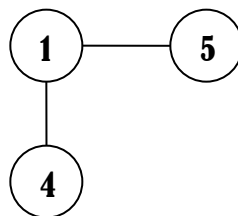


# Метод минимальной степени

## □ Пример работы метода



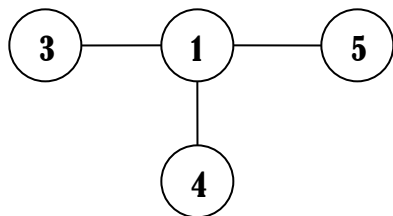
$$G_0, \pi = \{\emptyset\}$$



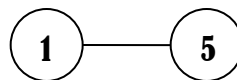
$$G_2, \pi = \{2, 3\}$$



$$G_4, \pi = \{2, 3, 4, 1\}$$



$$G_1, \pi = \{2\}$$



$$G_3, \pi = \{2, 3, 4\}$$

$$G_5 = \emptyset, \pi = \{2, 3, 4, 1, 5\}$$

# Метод минимальной степени

□ Матрица, соответствующая  $\pi=\{2,3,4,1,5\}$

$$P = \begin{bmatrix} 0 & 1 & 0 & 0 & 0 \\ 0 & 0 & 1 & 0 & 0 \\ 0 & 0 & 0 & 1 & 0 \\ 1 & 0 & 0 & 0 & 0 \\ 0 & 0 & 0 & 0 & 1 \end{bmatrix}$$

$$PAP^T = \begin{bmatrix} 0.5 & 0 & 0 & 1 & 0 \\ 0 & 3 & 0 & 2 & 0 \\ 0 & 0 & 0.625 & 0.5 & 0 \\ 1 & 2 & 0.5 & 4 & 2 \\ 0 & 0 & 0 & 2 & 16 \end{bmatrix}$$

Другая матрица перестановки  
 $L$  разрежен так же, как и  $PAP^T$

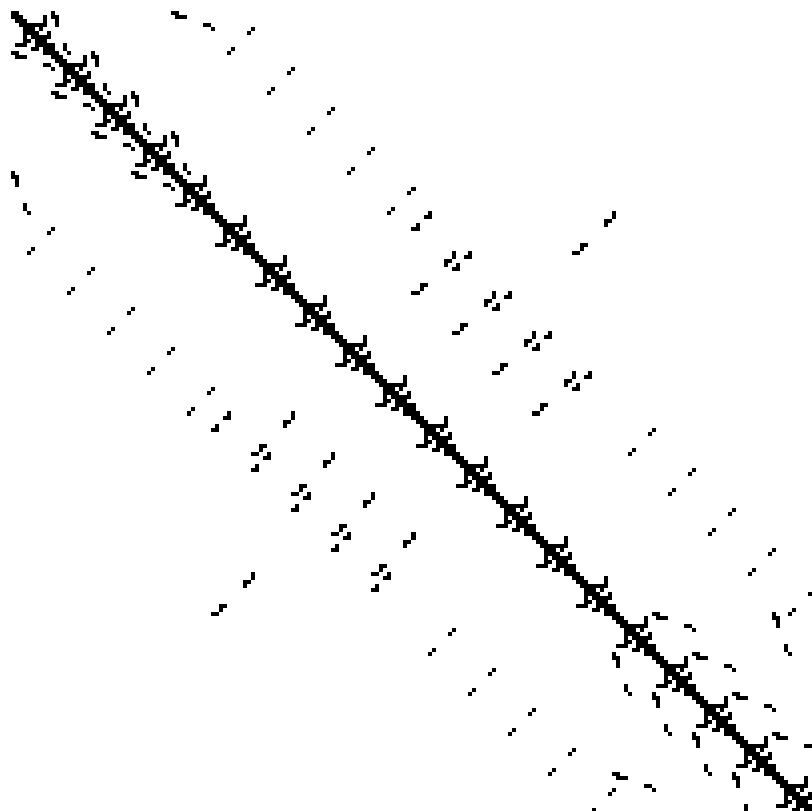
$$L = \begin{bmatrix} 0.707 & 0 & 0 & 0 & 0 \\ 0 & 1.732 & 0 & 0 & 0 \\ 0 & 0 & 0.79 & 0 & 0 \\ 1.414 & 1.154 & 0.632 & 0.516 & 0 \\ 0 & 0 & 0 & 3.873 & 1 \end{bmatrix}$$

# Модификации метода минимальной степени

- ❑ Метод минимальной степени в его исходном виде не используется в силу его значительной трудоемкости.
- ❑ Широко распространены две его модификации:
  - *множественный метод минимальной степени (Multiple Minimum Degree, MMD)*, реализован в Intel MKL).  
если на некотором шаге алгоритма нашлось несколько вершин с минимальной степенью, то можно одновременно удалить все из них, не являющиеся соседями
  - *приближенный метод минимальной степени (Approximate Minimum Degree, AMD)*  
используется эвристическое правило: степень вершины не превосходит сумму степеней ее соседей



# Тестовые матрицы



Матрица shallow\_water2,  
 $n=81\,920$ ,  $nz=204\,800$



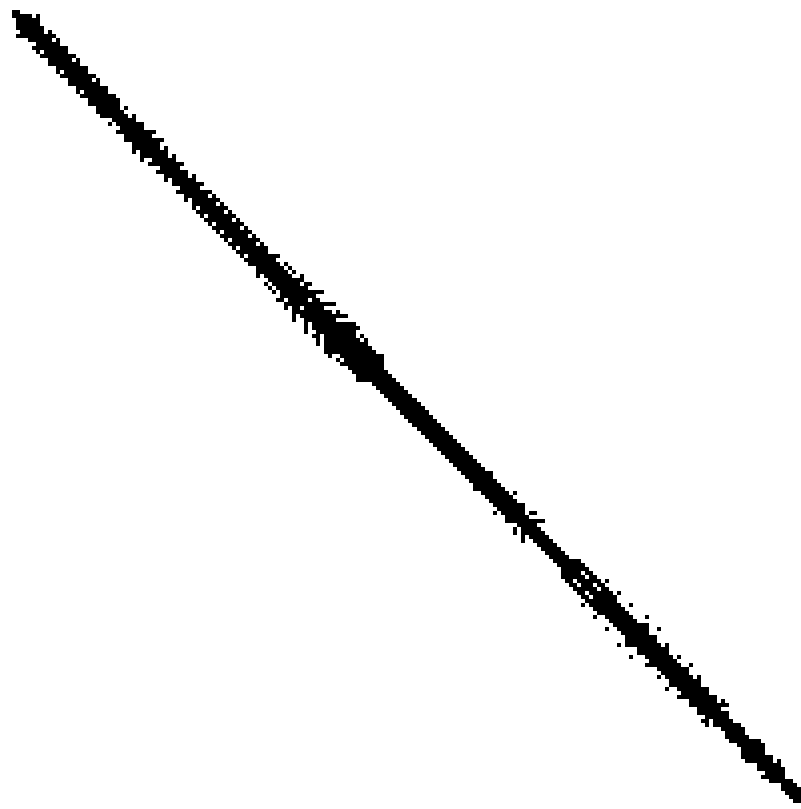
Матрица parabolic\_fem,  
 $n=525\,825$ ,  $nz=2\,100\,225$



# Тестовые матрицы

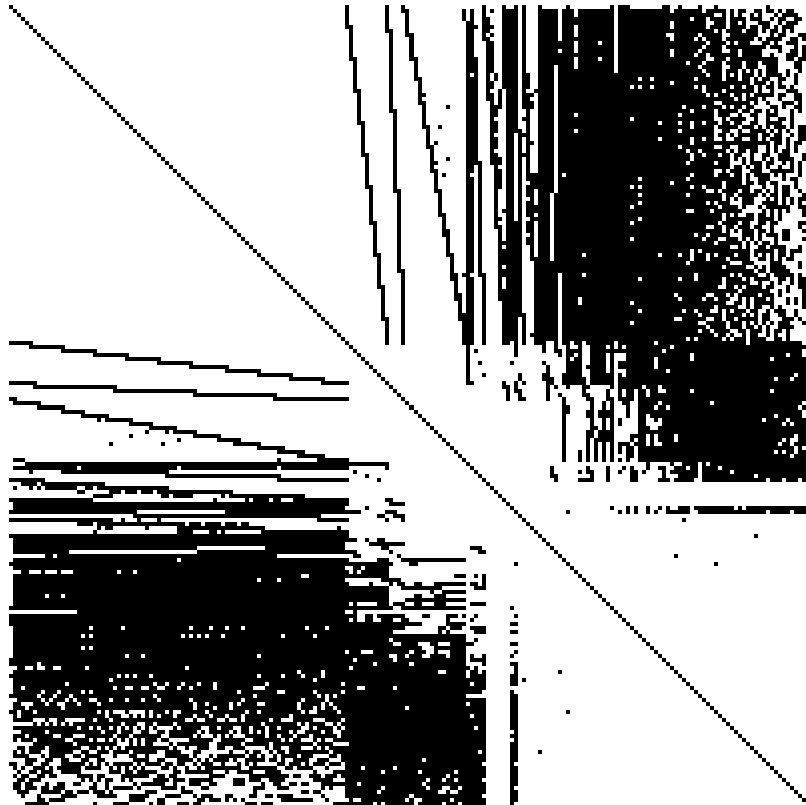


Матрица pwtk,  
 $n=217\,918$ ,  $nz=5\,871\,175$

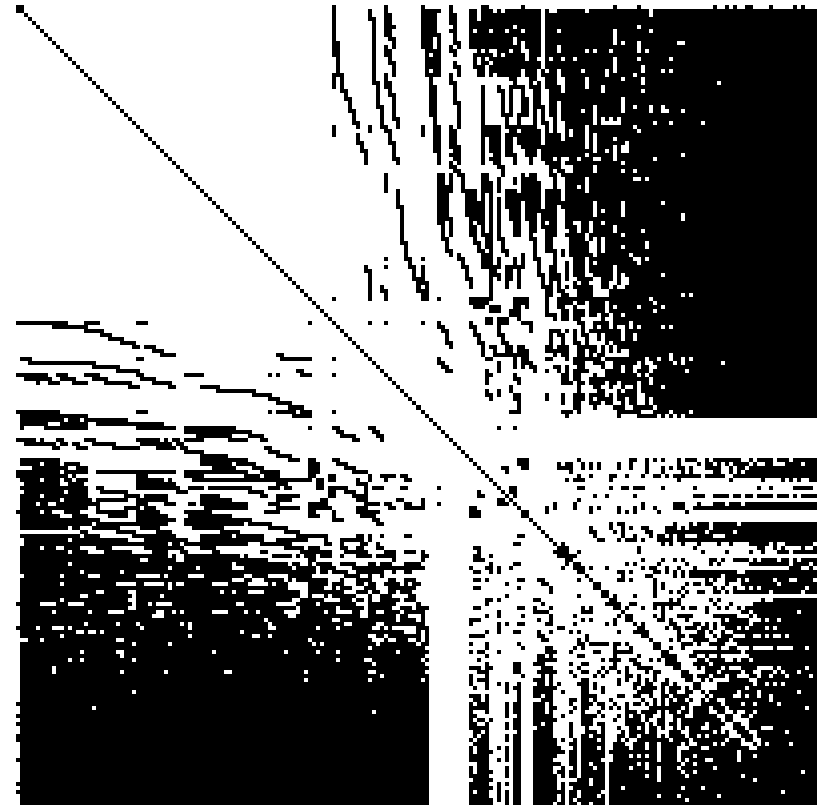


Матрица cfd2,  
 $n=123\,440$ ,  $nz=1\,604\,423$

# Тестовые матрицы после MMD

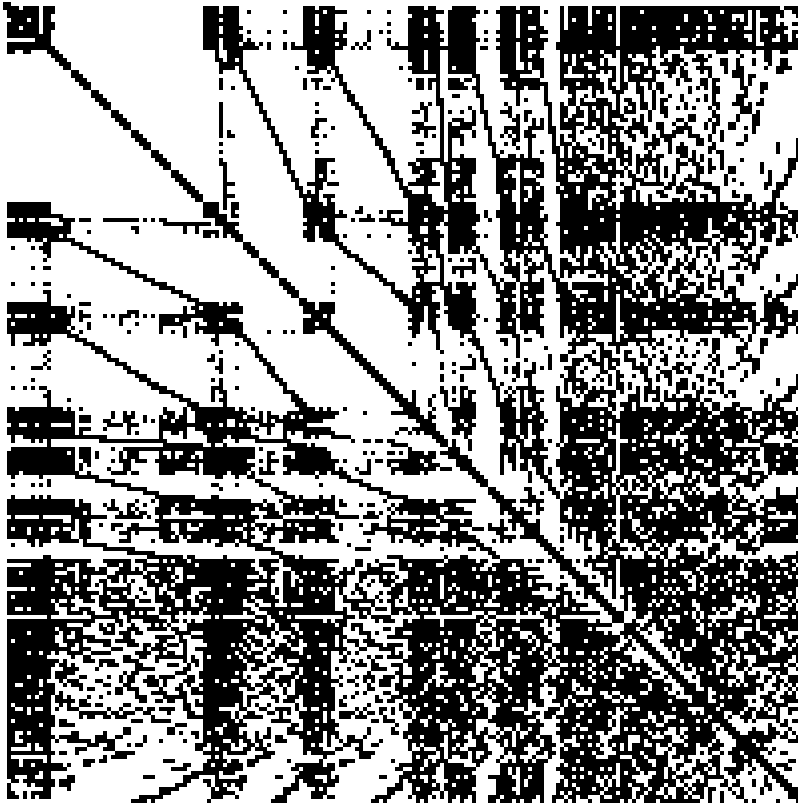


Матрица shallow\_water2,  
 $n=81\,920$ ,  $n_z=204\,800$

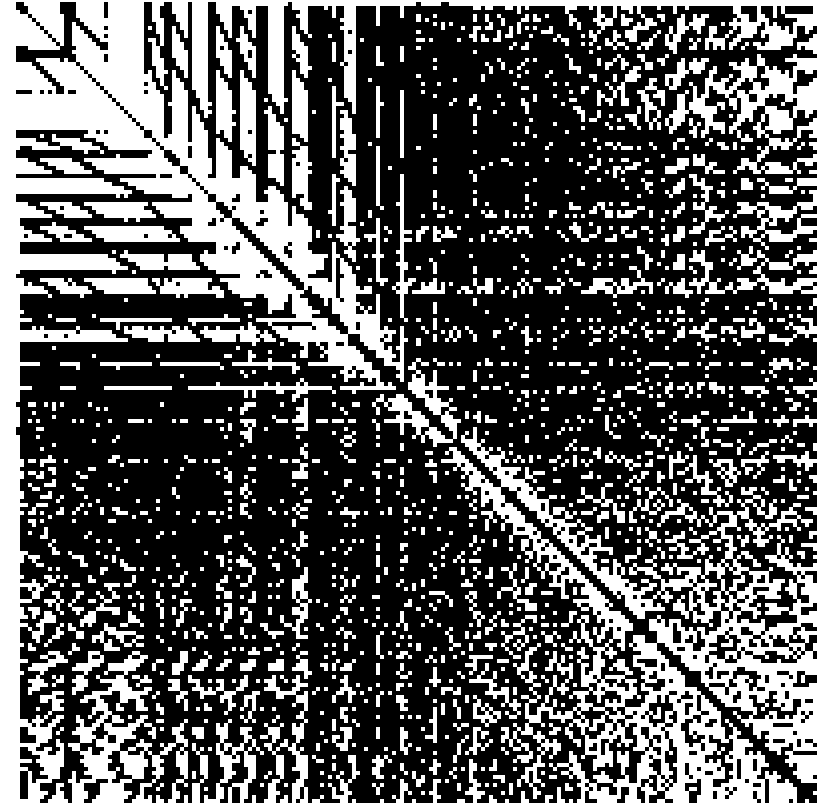


Матрица parabolic\_fem,  
 $n=525\,825$ ,  $n_z=2\,100\,225$

# Тестовые матрицы после MMD



Матрица pwtk,  
 $n=217\,918$ ,  $n_z=5\,871\,175$



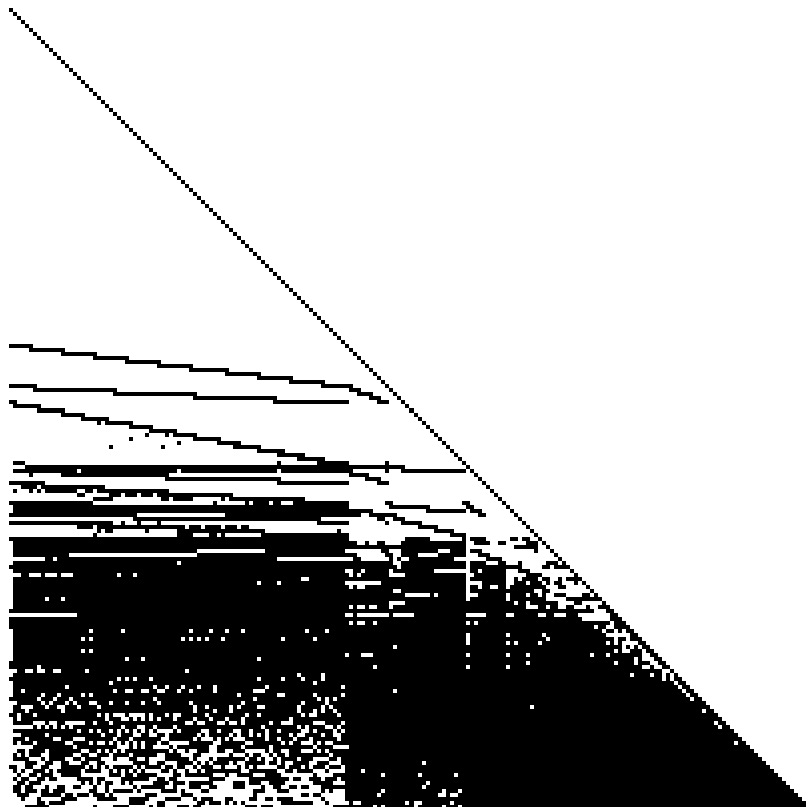
Матрица cfd2,  
 $n=123\,440$ ,  $n_z=1\,604\,423$

# Тестовые матрицы после MMD

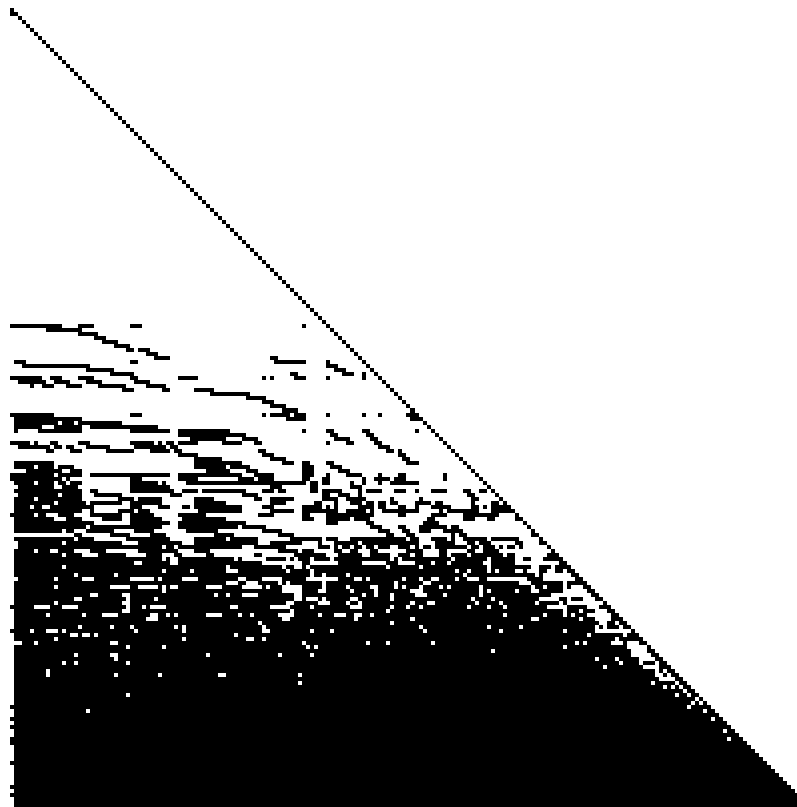


Матрица `parabolic_fem`,  
правый нижний угол

# Тестовые матрицы после разложения

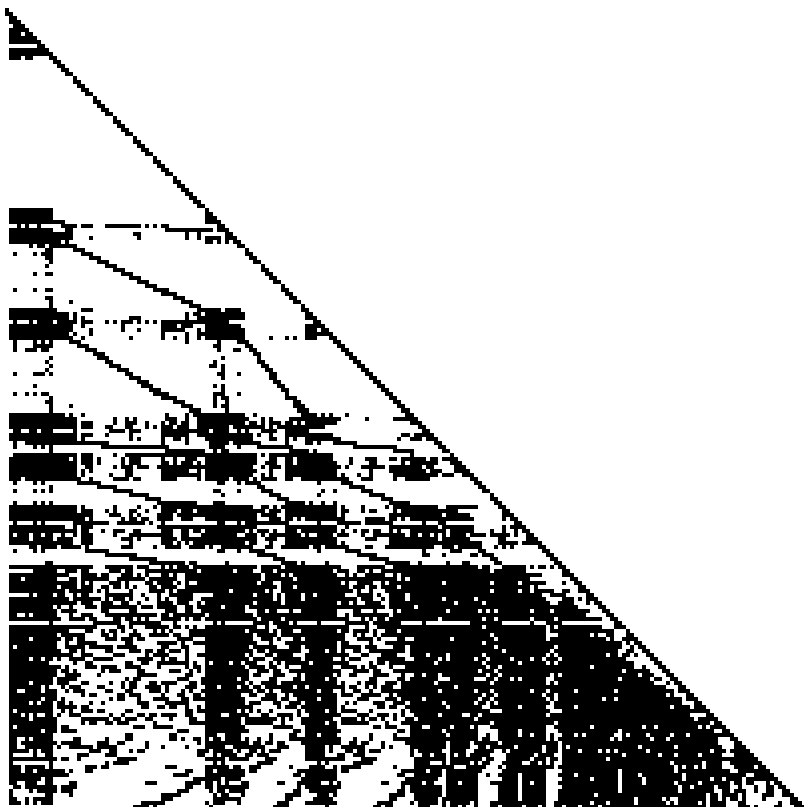


Матрица shallow\_water2,  
 $n=81\,920$ ,  $n_z=2\,525\,184$

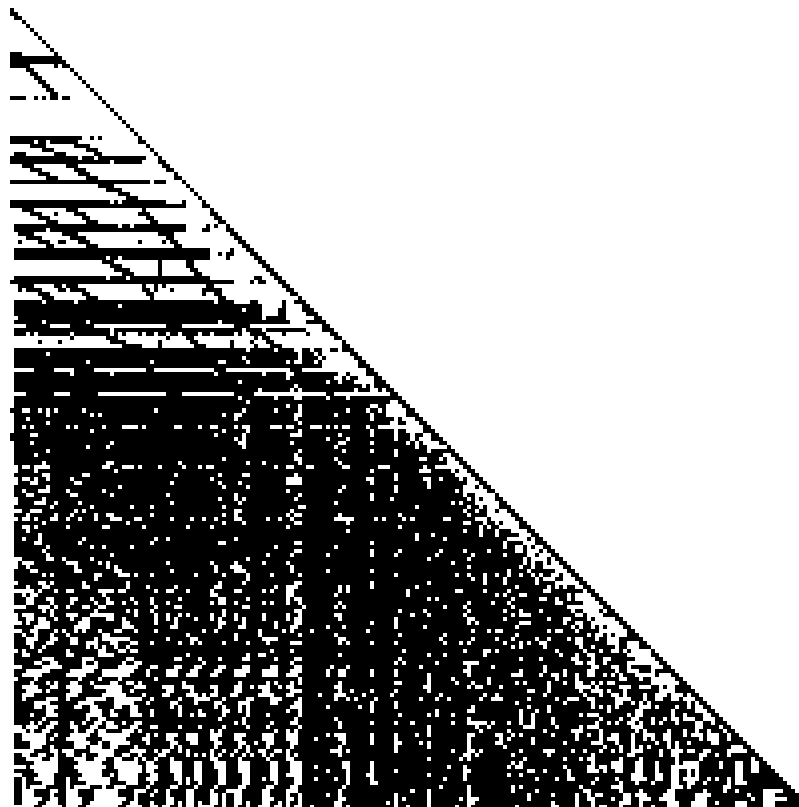


Матрица parabolic\_fem,  
 $n=525\,825$ ,  $n_z=23\,582\,508$

# Тестовые матрицы после разложения



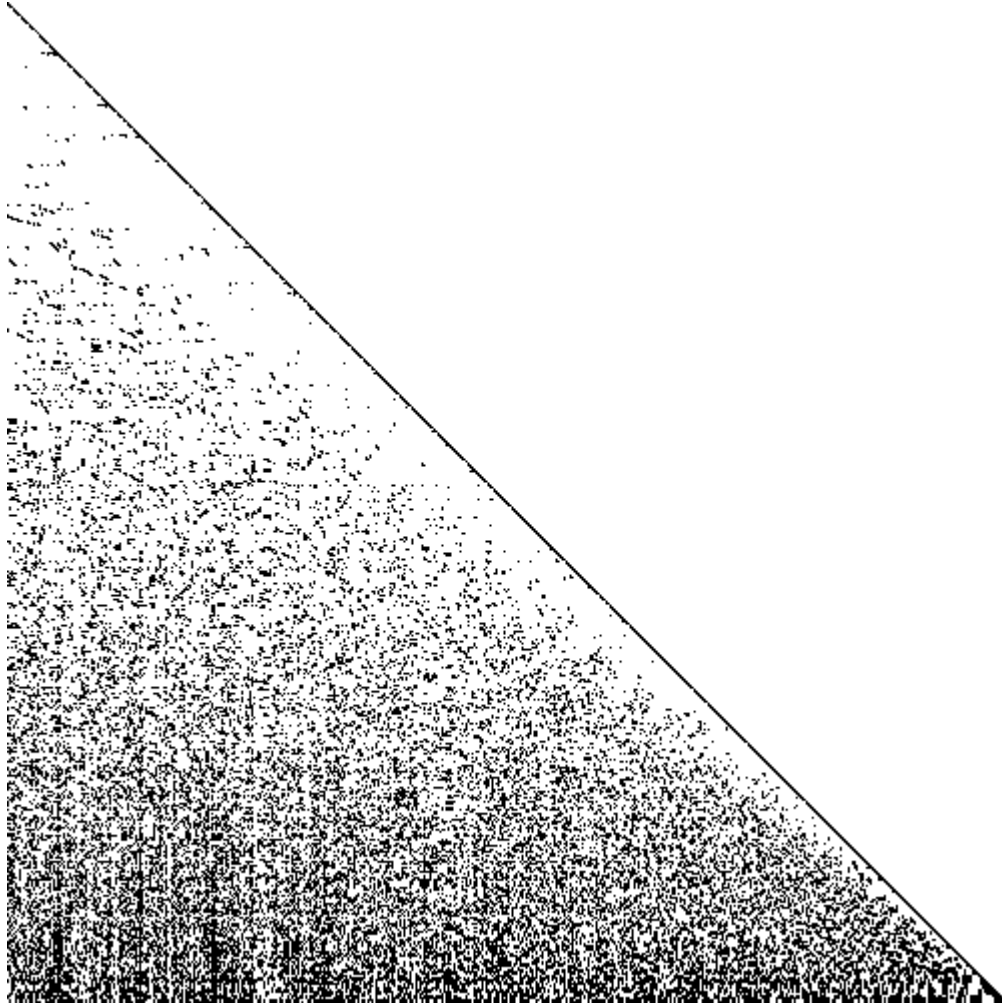
Матрица pwtk,  
 $n=217\,918$ ,  $nz=60\,711\,075$



Матрица cfd2,  
 $n=123\,440$ ,  $nz=66\,828\,397$

# Тестовые матрицы после разложения

Матрица `parabolic_fem`  
после разложения,  
правый нижний угол



# Сравнение коэффициентов заполнения

- Приведены числовые значения коэффициентов заполнения исходной матрицы  $A$ , ее факторов  $L$  (без переупорядочивания) и  $L'$  (переупорядочивание MMD).

Матрица	$A$	$L$	$L'$
shallow_water2	4,88281E-05	0,00687	0,00075
pwtk	0,00024268	0,00803	0,00256
parabolic_fem	1,32902E-05	0,16134	0,00017
cfd2	0,000202489	0,02049	0,00877



# Метод вложенных сечений (nested dissection, ND)

- ❑ Граф называется *связным*, если для каждой пары его вершин найдется путь, который их связывает.
- ❑ В противном случае граф *несвязный*, и состоит из двух и более *компонент связности*.
- ❑ *Разделитель* – множество вершин, удаление которых (вместе с инцидентными им ребрами) приводит к увеличению числа связных компонент.
- ❑ *Минимальный разделитель* – никакое его собственное подмножество не является разделителем.
- ❑ *Разрезающая вершина* – разделитель, состоящий из одной вершины.



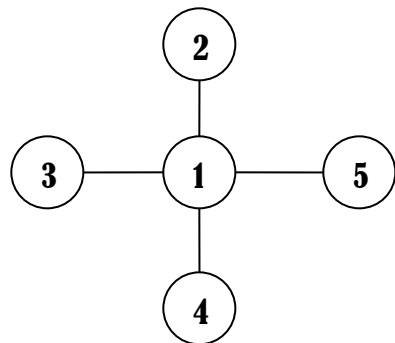
# Метод вложенных сечений

- Пусть матрице  $A$  соответствует граф  $G(V, E)$ 
  1. В графе  $G$  находим разделитель  $S = \{v_k\}$
  2. Удаляем  $S$  (получаем две компоненты связности  $G_1, G_2$ ) номер  $k$  записываем в перестановку
  3. Рекурсивно применяем алгоритм к  $G_1, G_2$ .
- Если разделитель состоит из нескольких вершин – удаляем их все, и записываем номера в перестановку.
- Как выбрать разделитель?
  - Выбирать небольшой (минимальный) разделитель;
  - $G_1, G_2$  должны быть примерно одинакового размера.



# Метод вложенных сечений

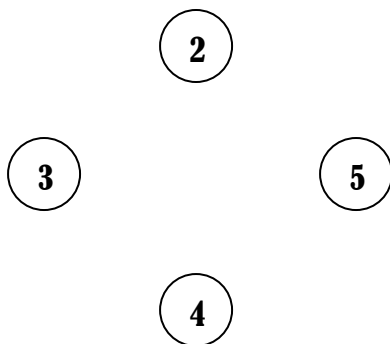
## □ Пример работы метода



$$G_1, \\ \pi = \{\emptyset\}$$

$$\pi = \{2, 3, 4, 5, 1\}$$

$$P = \begin{bmatrix} 0 & 1 & 0 & 0 & 0 \\ 0 & 0 & 1 & 0 & 0 \\ 0 & 0 & 0 & 1 & 0 \\ 0 & 0 & 0 & 0 & 1 \\ 1 & 0 & 0 & 0 & 0 \end{bmatrix}$$



$$G_2 \ G_3 \ G_4 \ G_5, \\ \pi = \{1\}$$

# Уровни смежности графа

- ❑ *Разбиением* графа называется группировка вершин графа в попарно непересекающиеся подмножества  $S_0, S_1, \dots, S_m$ .
- ❑ Важный класс разбиений – *уровни смежности*
- ❑  $L_0, L_1, \dots, L_m$ , - уровни смежности графа  $V$ , если

$$Adj(L_0) \subseteq L_1,$$

$$Adj(L_m) \subseteq L_{m-1},$$

$$Adj(L_i) \subseteq L_{i-1} \cup L_{i+1}, \quad 0 < i < m.$$

где  $Adj(x)$  для  $x \in V$  – множеством смежных  $x$  вершин.

- ❑ Каждый уровень  $L_i$ ,  $0 < i < m$ , является разделителем графа. Говорят о выявлении *структуры уровней смежности* (СУС)

# Уровни смежности графа

- Разбиение на уровни смежности называют *корневым* с корнем  $L_0$ , если  $L_0 \subset V$ , а каждое следующее множество смежно с объединением предыдущих, т.е.

$$L_i = Adj\left(\bigcup_{j=0}^{i-1} L_j\right)$$

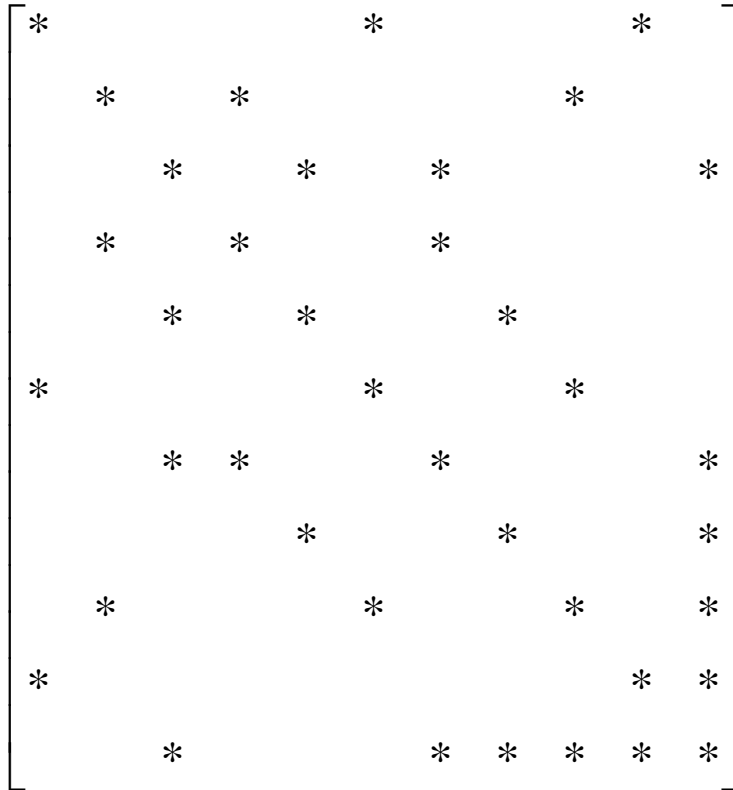
- Если  $L_0$  состоит из единственной вершины  $u$ , то структура уровней имеет корень в вершине  $u$ .
- Число  $t$  называют длиной структуры уровней смежности, а *ширина* структуры определяется как максимальное количество вершин, составляющих каждый уровень

# Выявление структуры уровней смежности

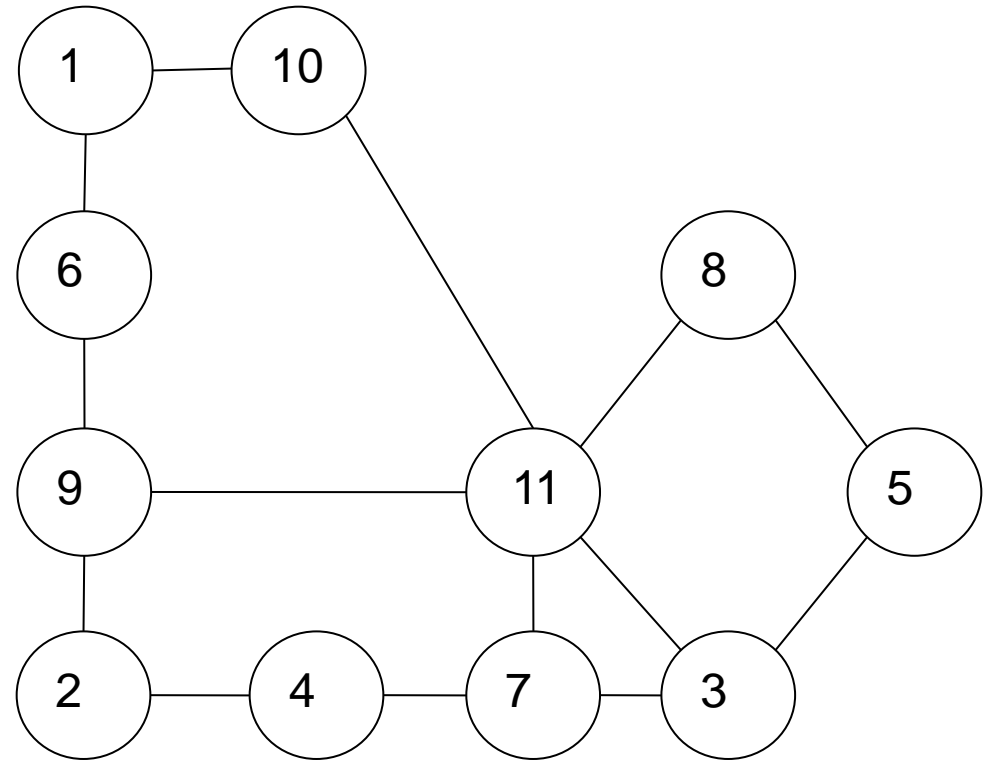
1. В графе  $V$  выбирается некоторая вершина  $u \in V$  в качестве корневой. Полагаем  $i=0$ ,  $L_0=\{u\}$ .
2. Помечаем данную вершину (присваиваем ей первый номер)
3. Перебираем все вершины из  $L_i$ , и для каждой из них определяем непомеченную смежную ей вершину. Они помечаются (нумеруются по порядку) и помещаются в  $L_{i+1}$ .
4. Если множество непомеченных вершин пусто, то алгоритм завершен, иначе полагаем  $i=i+1$ , и переходим на шаг 3.



# Пример структуры уровней смежности

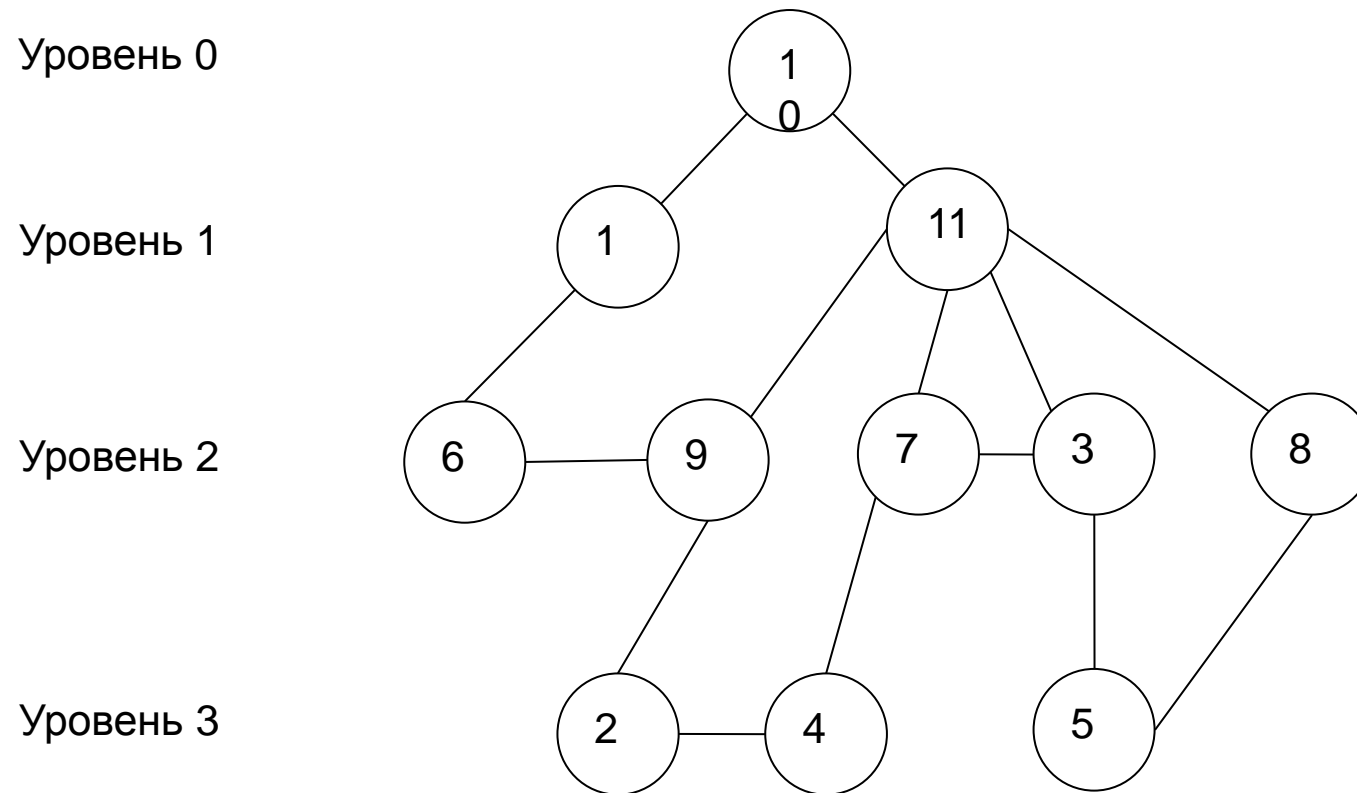


Портрет матрицы



Графовое представление

# Пример структуры уровней смежности





# Поиск минимального разделителя

- Длина кратчайшего пути между  $u, v \in V$ , соединяющего эти вершины, *расстояние*  $d(u, v)$ ,.
  - $\text{diam}(G) = \max\{d(u, v), u, v \in V\}$  – *диаметр* графа
  - $e(u) = \max\{d(u, v), v \in V\}$  – *эксцентриситет* вершины
  - Если  $\text{diam}(G) = e(u)$ , то вершина  $u$  – *периферийная*.
  - Если  $d(u, v) = e(u)$ , и  $e(v) = e(u)$ , то  $u$  – *псевдопериферийная*.
- 
- Известный метод выбора подходящего разделителя, состоит в построении для графа структуры уровней смежности с корнем в псевдопериферийной вершине и выборе разделителя из среднего уровня.

# Поиск псевдопериферийной вершины

1. Выбрать некоторую вершину  $r \in V$  в качестве корневой.
2. Определить СУС  $\Lambda(r) = \{L_0, L_1, \dots, L_{m(r)}\}$  с корнем в  $r$ .
3. Выбрать в последнем уровне  $L_{m(r)}$  вершину  $x$  с минимальной степенью.
4. Определить СУС  $\Lambda(x) = \{L_0, L_1, \dots, L_{m(x)}\}$  с корнем в  $x$ .
5. Если  $m(x) > m(r)$ , то положить  $r \leftarrow x$ , и перейти на шаг 3.
6. Узел  $x$  является псевдопериферийным.



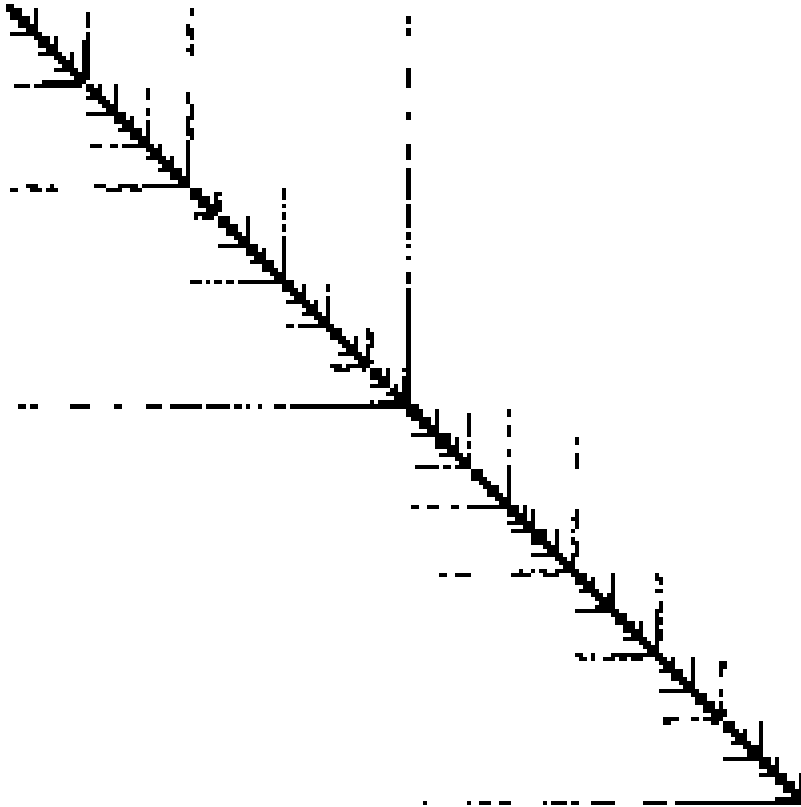
# Формальное описание алгоритма

Пусть  $G=G(V,E)$  – граф, ассоциированный с матрицей  $A$ .

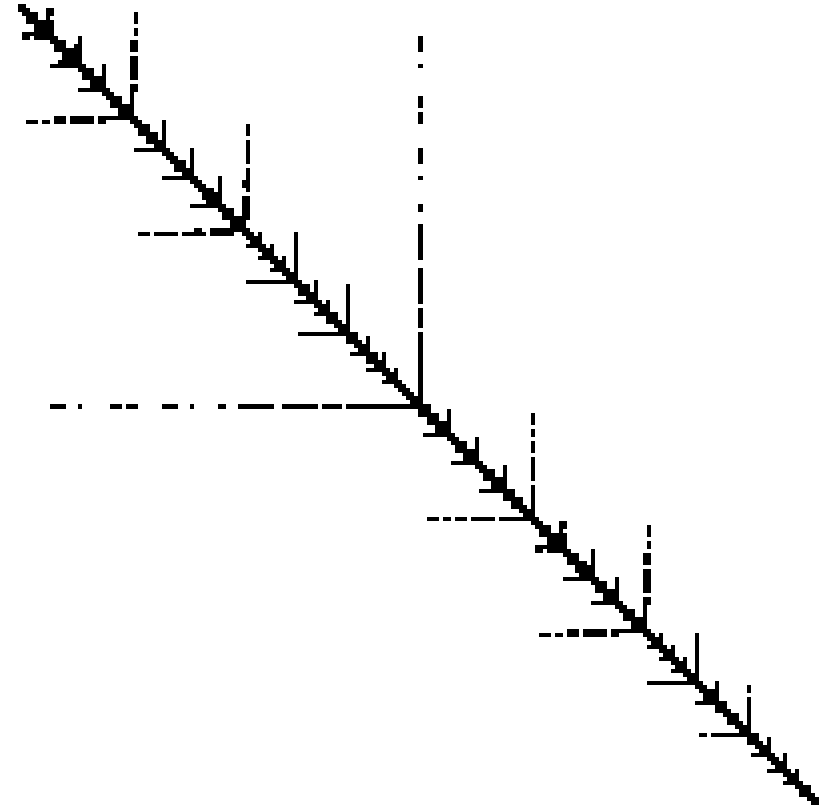
1. Положить  $R=V$ ,  $n=|V|$ .
2. Найти в  $G(R)$  связную компоненту  $G(C)$  и построить для нее СУС с корнем в псевдопериферийной вершине  $r$ , т.е.  $\Lambda(r)=\{L_0, L_1, \dots, L_m\}$ .
3. Если  $m \leq 2$ , то положить  $S=C$  и перейти к шагу 4. Иначе положить  $j=(m+1)/2$  и определить разделитель  $S \subset L_j$  как
$$S = \{y \in L_j : Adj(y) \cap L_{j+1} \neq \emptyset\}$$
4. Перенумеровать узлы разделителя  $S$  числами от  $n$  до  $n-|S|+1$ . Положить  $R \leftarrow R-S$  и  $n \leftarrow n-|S|$ . Если  $R \neq \emptyset$ , то перейти на шаг 2.



# Тестовые матрицы после ND

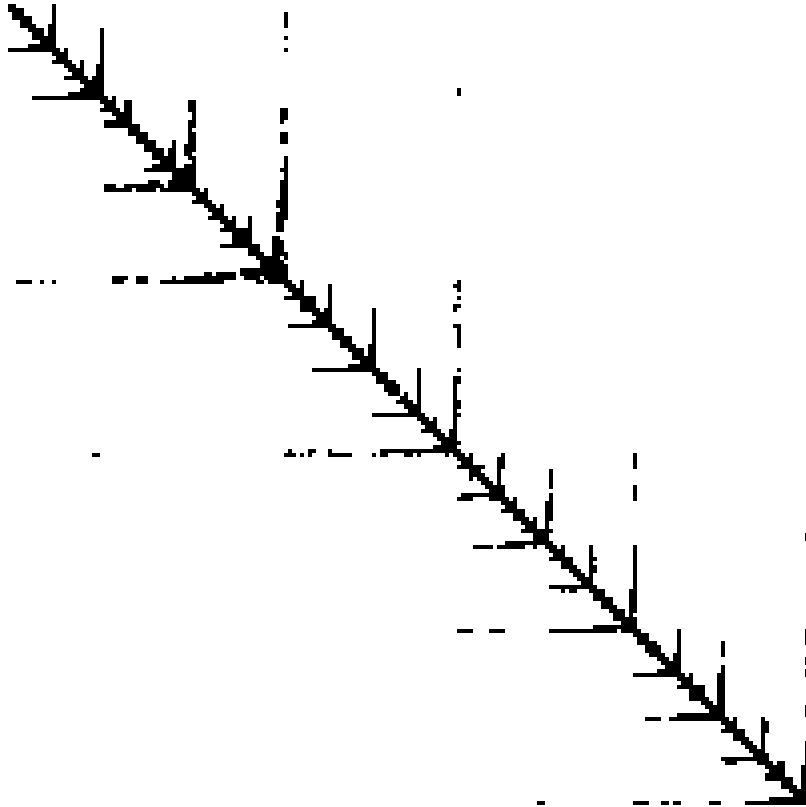


Матрица shallow\_water2,  
 $n=81\,920$ ,  $n_z=204\,800$



Матрица parabolic\_fem,  
 $n=525\,825$ ,  $n_z=2\,100\,225$

# Тестовые матрицы после ND

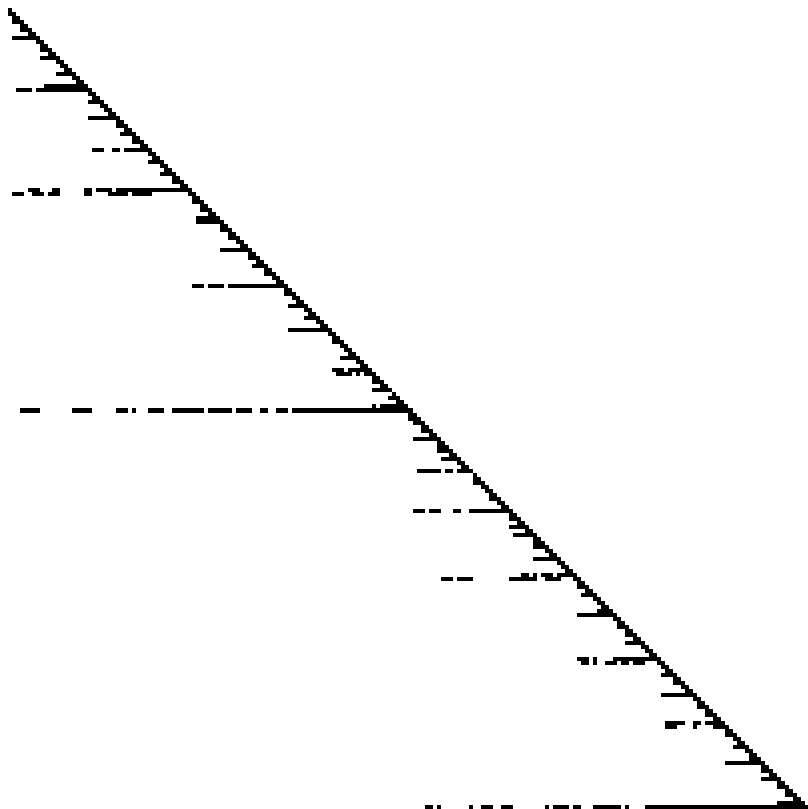


Матрица pwtk,  
 $n=217\,918$ ,  $nz=5\,871\,175$

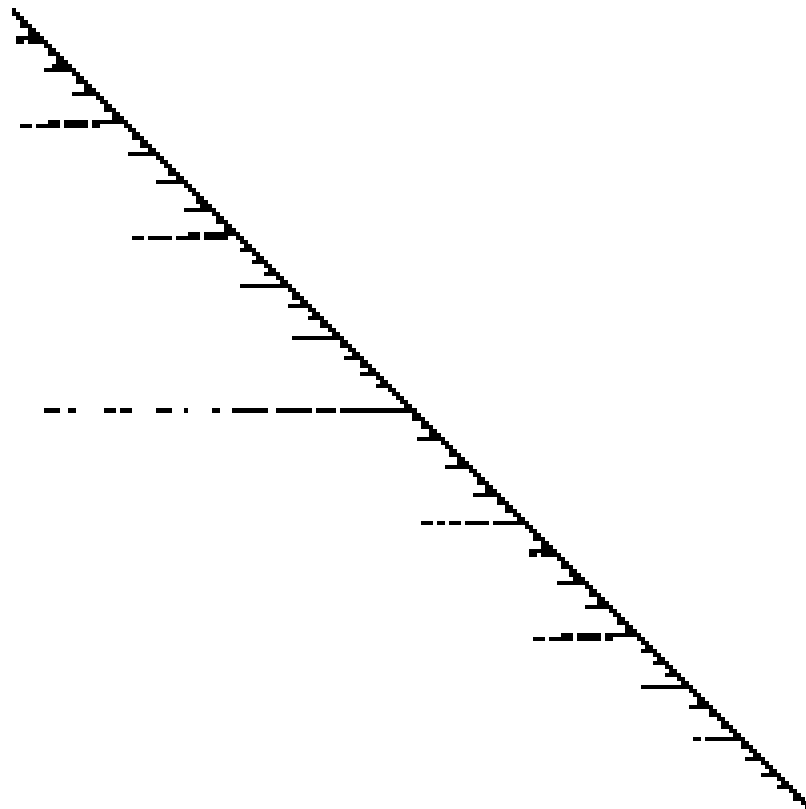


Матрица cfd2,  
 $n=123\,440$ ,  $nz=1\,604\,423$

# Тестовые матрицы после разложения

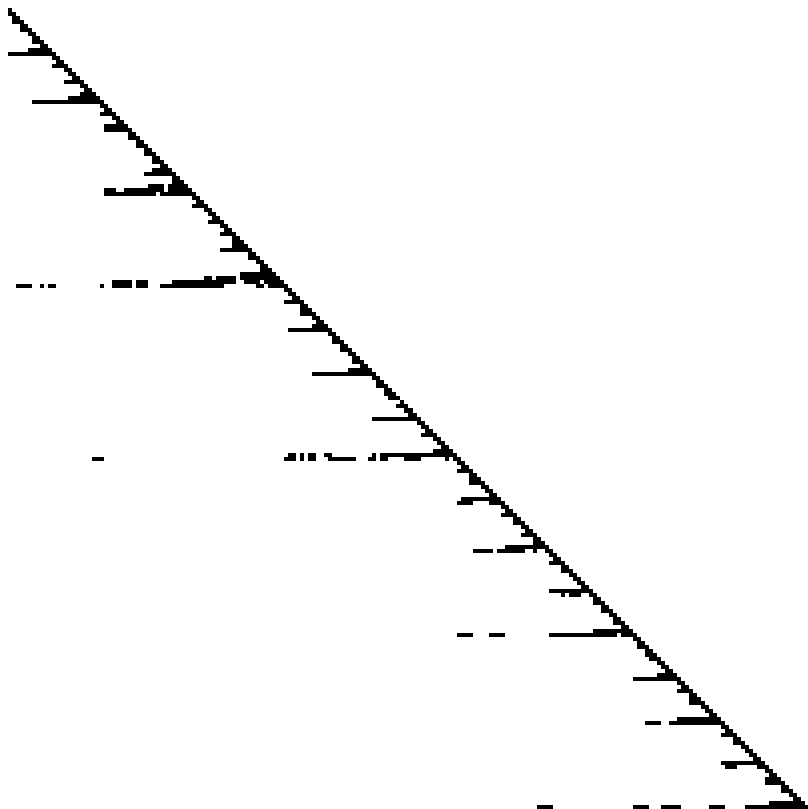


Матрица shallow\_water2,  
 $n=81\,920$ ,  $n_z=2\,183\,332$

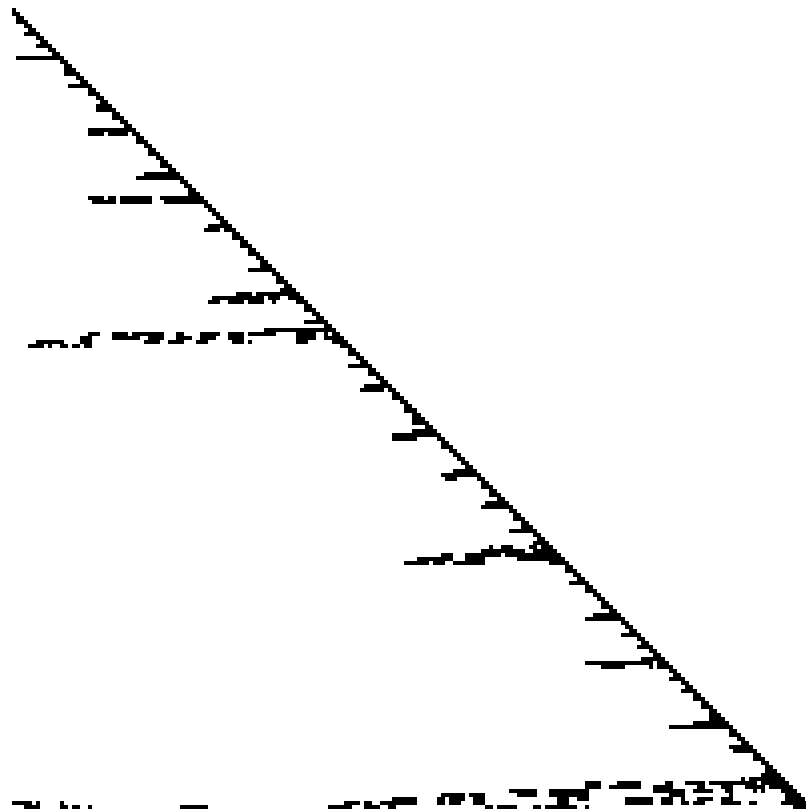


Матрица parabolic\_fem,  
 $n=525\,825$ ,  $n_z=26\,494\,693$

# Тестовые матрицы после разложения



Матрица pwtk,  
 $n=217\,918$ ,  $nz=66\,843\,598$



Матрица cfd2,  
 $n=123\,440$ ,  $nz=156\,075\,674$

# Сравнение коэффициентов заполнения

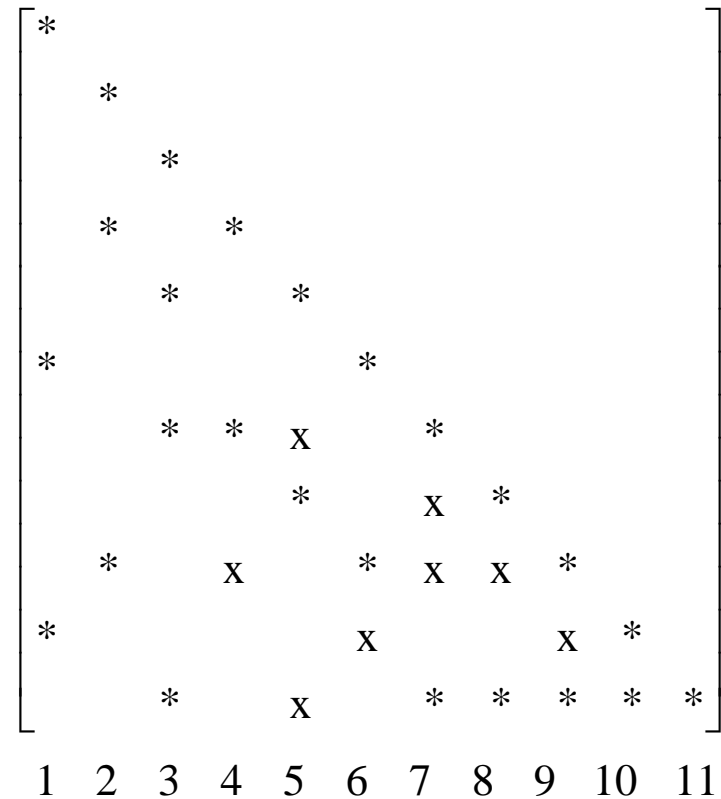
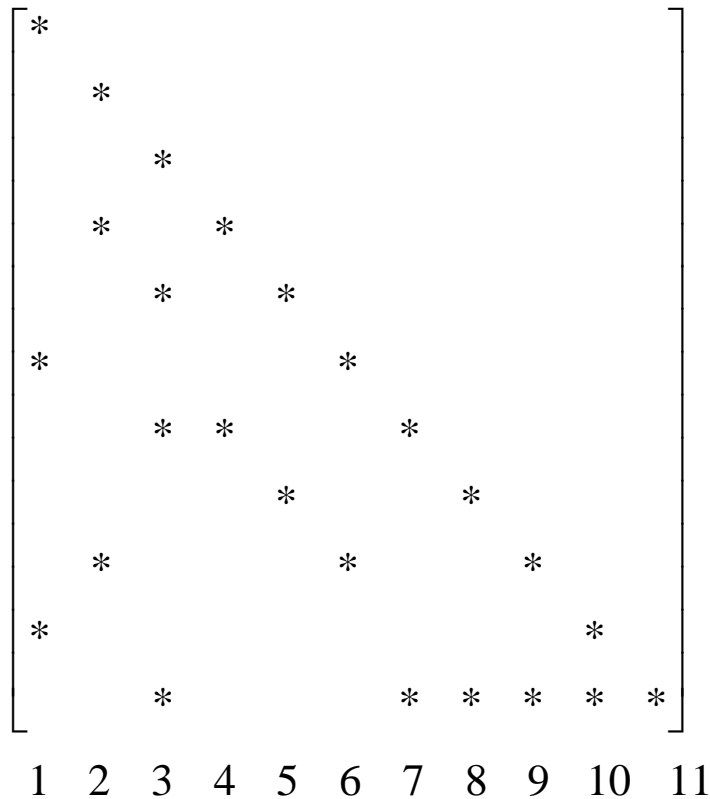
- Приведены числовые значения коэффициентов заполнения исходной матрицы  $A$ , ее факторов  $L$  (без переупорядочивания),  $L'$  (переупорядочивание ND),  $L''$  (переупорядочивание MMD).

Матрица	$A$	$L$	$L'$	$L''$
shallow_water2	4,88281E-05	0,00687	0,00065	0,00075
pwtk	0,00024268	0,00803	0,00281	0,00256
parabolic_fem	1,32902E-05	0,16134	0,00019	0,00017
cfd2	0,000202489	0,02049	0,02048	0,00877



# Символическое разложение

- Символическое разложение – построение портрета матрицы  $L$ .



- Как определить места новых ненулевых элементов?

# Символическое разложение

- Элементы 7-го столбца вычисляются как

$$l_{ji} = \frac{1}{l_{ii}} \left( a_{ji} - \sum_{k=1}^{i-1} l_{ik} l_{jk} \right), \quad i=7, j=8,9,10,11$$

- Портрет 7-го столбца получается как объединение портретов столбцов  $k=3,4,5,7$  (остальные значения в строке 7 – нули)
- В общем случае для  $j$ -го столбца приходится выполнить слияние, вообще говоря,  $j$  списков.
- Известно, что надо объединять не все портреты столбцов  $1, 2, \dots, (j-1)$ , а только те, в которых ненулевой элемент в  $j$ -й строке является первым ненулевым ниже диагонали.
- В примере это – портреты столбцов  $k=4,5,7$ , портрет 5-го столбца содержит ненулевые элементы 3-го столбца



# Численное разложение

- ❑ Пусть нужно обработать столбец  $i$  (например,  $i=7$ ).
- ❑ Известно расположение ненулевых элементов столбца (в примере – строки  $j=7, 8, 9$  и  $11$ ).
- ❑ Чтобы их вычислить их, нужно:
  - просмотреть строку  $i$ ,
  - установить, какие столбцы имеют ненулевые элементы в этой строке (в примере – столбцы 3, 4, 5)
  - найти в этих столбцах ненулевые элементы, строчные индексы которых не меньше  $i$
  - провести умножение и вычитание в соответствии с формулой

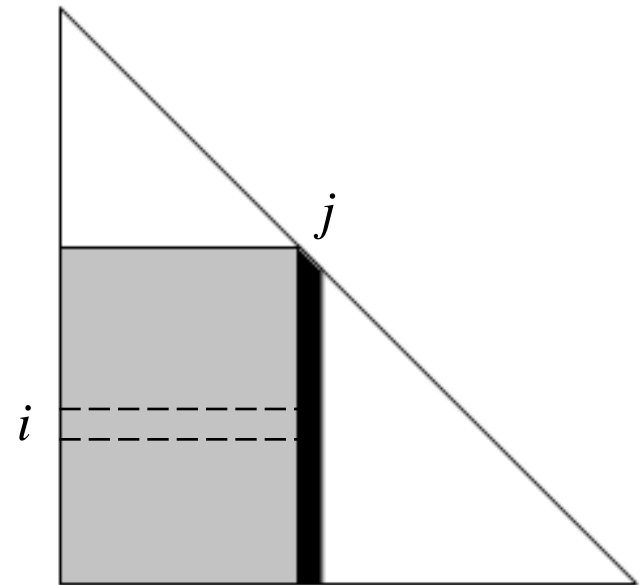
$$l_{ji} = \frac{1}{l_{ii}} \left( a_{ji} - \sum_{k=1}^{i-1} l_{ik} l_{jk} \right)$$



# Параллелизм в разложении Холецкого

- Уровни параллелизма (на примере столбцового алгоритма)
  - Нижний: вычисление компоненты  $l_{ij}$ ;
  - Средний: вычисление  $j$ -го столбца;
  - Верхний: вычисление нескольких столбцов  $L$  параллельно (только для разреженных матриц!).

- модифицируемые элементы
- значения, используемые для модификации
- обращений к элементам не производится



# Дерево исключения

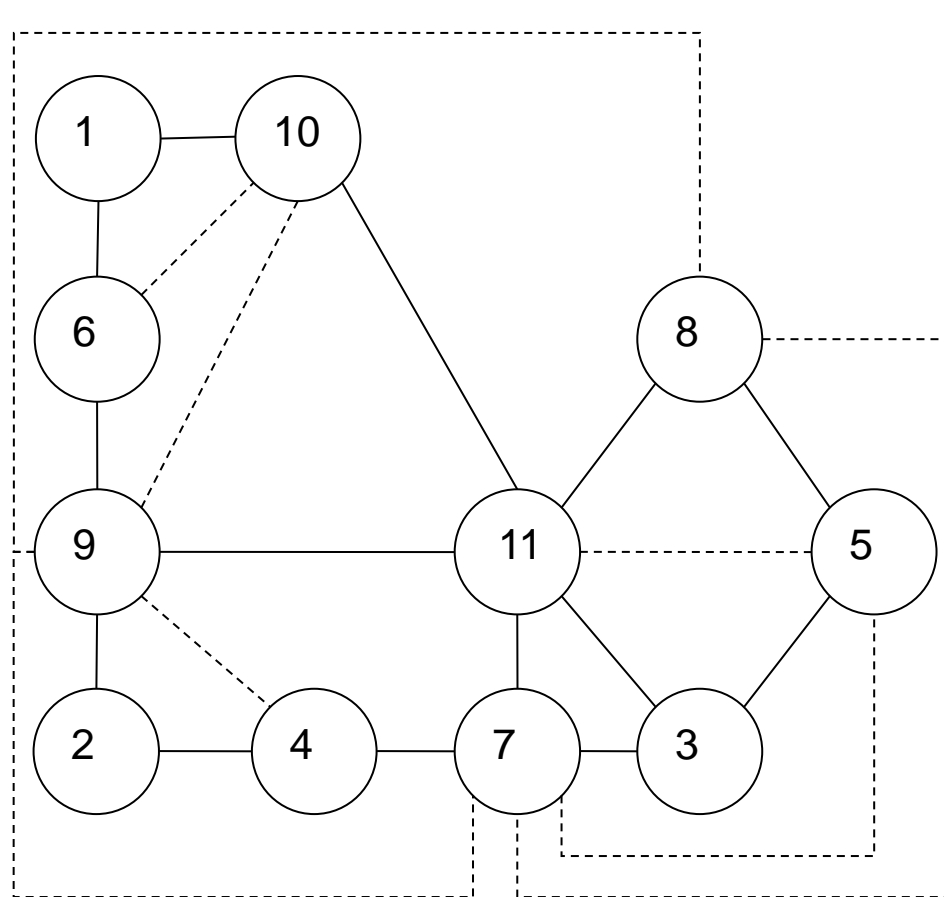
- $\text{предок}(j) = \min\{i : l_{ij} \neq 0, i > j\}$   
номер строки первого ненулевого элемента ниже диагонали
- $F(A)$  – граф заполнения, получаемый из исходной матрицы смежности  $A$ , в которую добавлены появившиеся элементы из  $L$ .
- Дерево исключения  $T(A)$  – граф с  $n$  вершинами, где вершины  $i, j$  соединены дугой ( $i > j$ ), если  $i = \text{предок}(j)$
- Для графа  $G(A)$ , где  $A$  – матрица  $n \times n$ , дерево исключения будет иметь корень в  $n$ -й вершине.
- $T(A)$  является *остовным* деревом с корнем в  $n$ -й вершине для графа заполнения  $F(A)$ .



# Граф заполнения

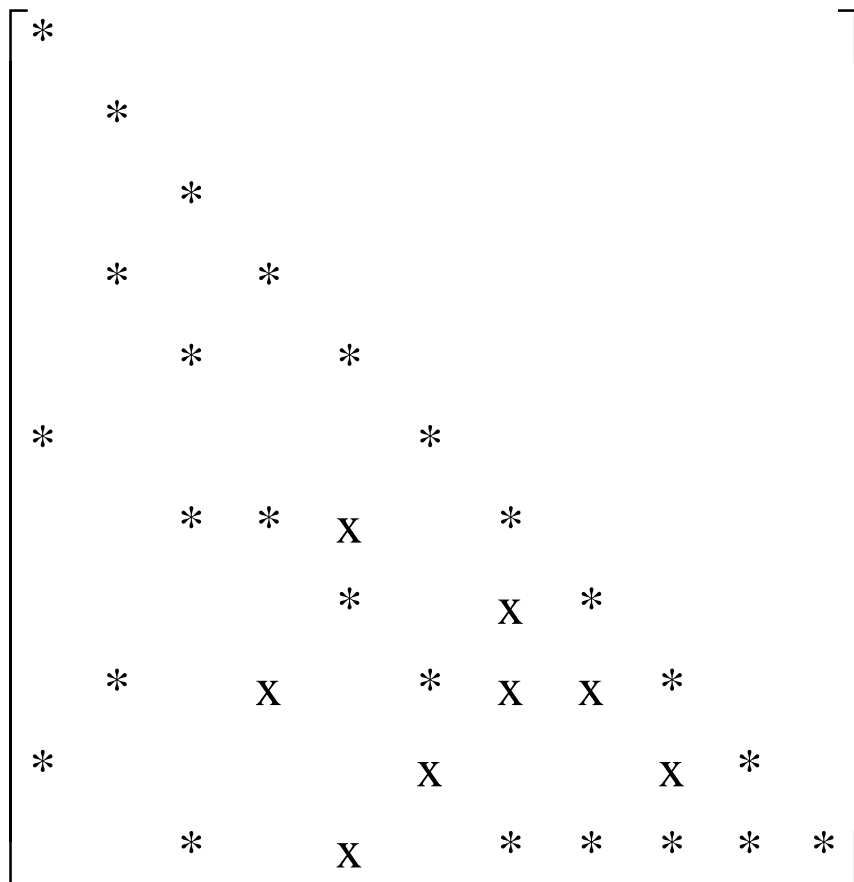
$$\begin{bmatrix} * & & & & & & & & & & \\ & * & & & & & & & & & \\ & & * & & & & & & & & \\ & & & * & & & & & & & \\ & * & & & * & & & & & & \\ & & * & * & X & & * & & & & \\ & & & * & & * & X & * & & & \\ & * & & & X & & * & X & X & * & \\ & & & & & X & & & & X & * \\ & & * & & X & & * & * & * & * & * \end{bmatrix}$$

Фактор  $L$

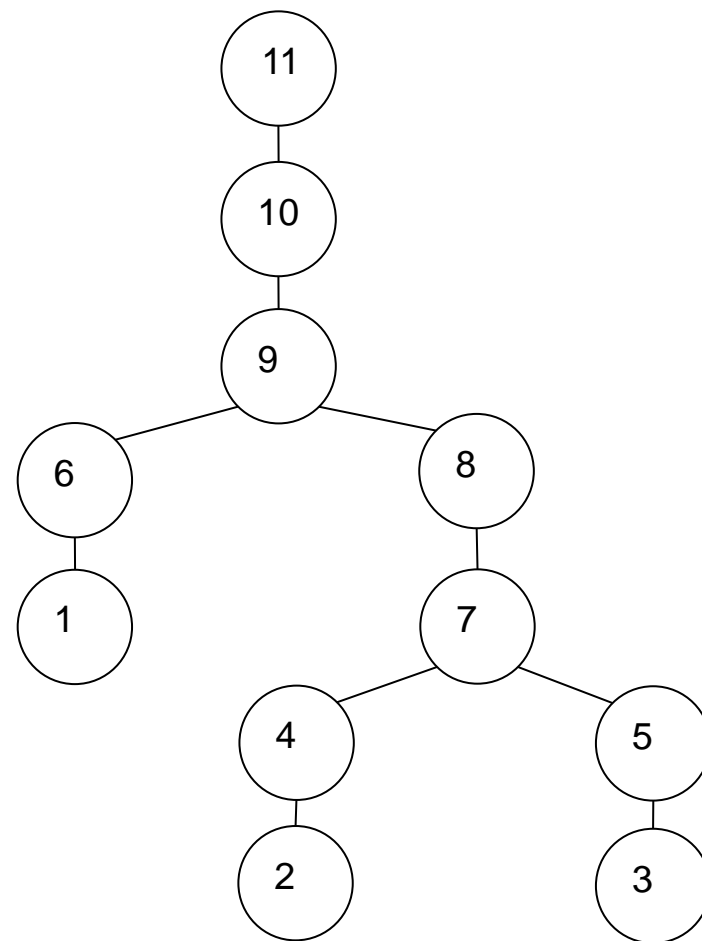


Граф заполнения

# Дерево исключения



Фактор  $L$



Дерево исключения

# Дерево исключения

- ❑ Построение  $T(A)$  фактически происходит на этапе символического разложения.
- ❑ Дерево исключения показывает зависимость между столбцами при построении фактора  $L$ , тем самым определяя возможный параллелизм задачи.
- ❑ Столбцы фактора  $L$ , принадлежащие непересекающимся поддеревьям  $T(A)$ , могут быть вычислены независимо друг от друга, т.е. – параллельно.
- ❑ В частности, столбцы, соответствующие листьям  $T(A)$ , всегда могут быть вычислены параллельно.



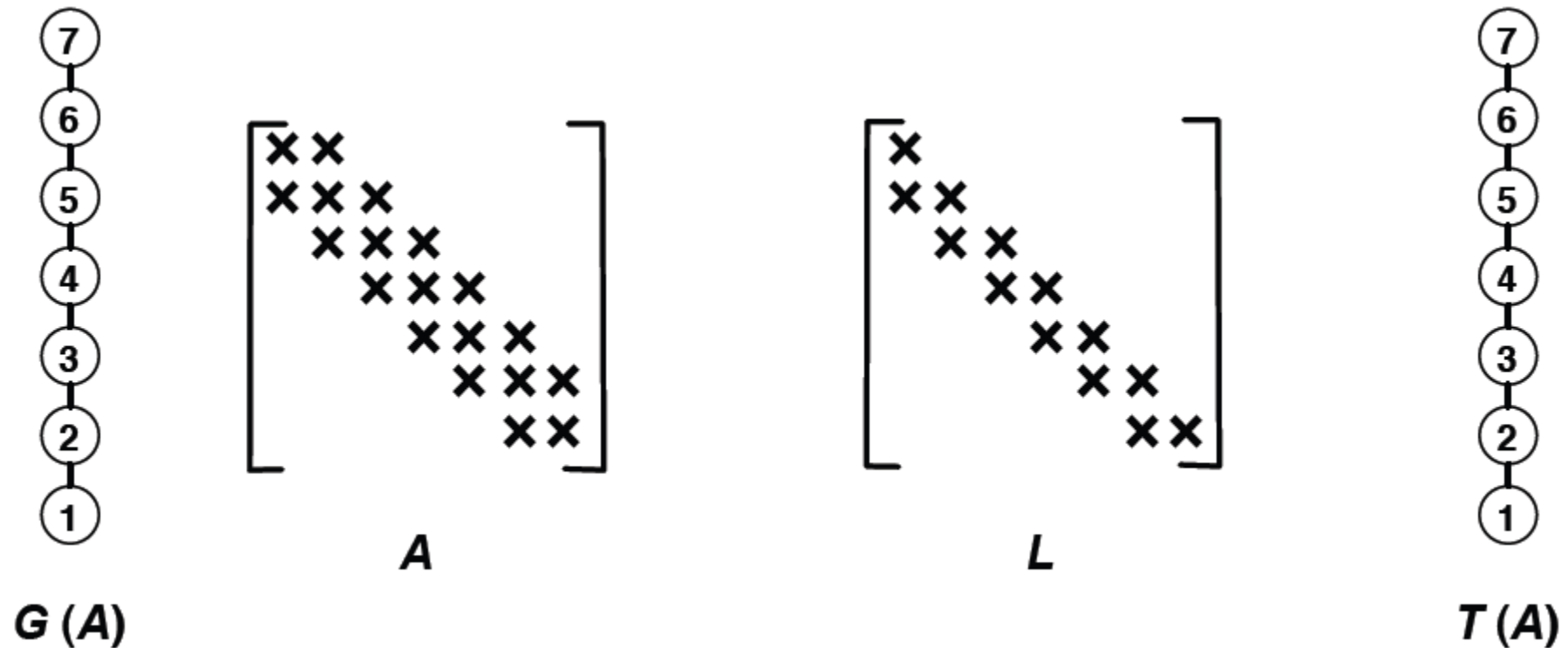
# Дерево исключения

- ❑ *Высота* дерева исключения определяет наибольший последовательный участок вычислений
- ❑ *Ширина* дерева исключения определяет степень возможного параллелизма
- ❑ Для параллельного выполнения желательно иметь невысокое, широкое, хорошо сбалансированное дерево.
- ❑ Так как структура дерева исключения зависит от переупорядочивания матрицы, алгоритм должен как сохранять разреженность, так и способствовать параллелизму.



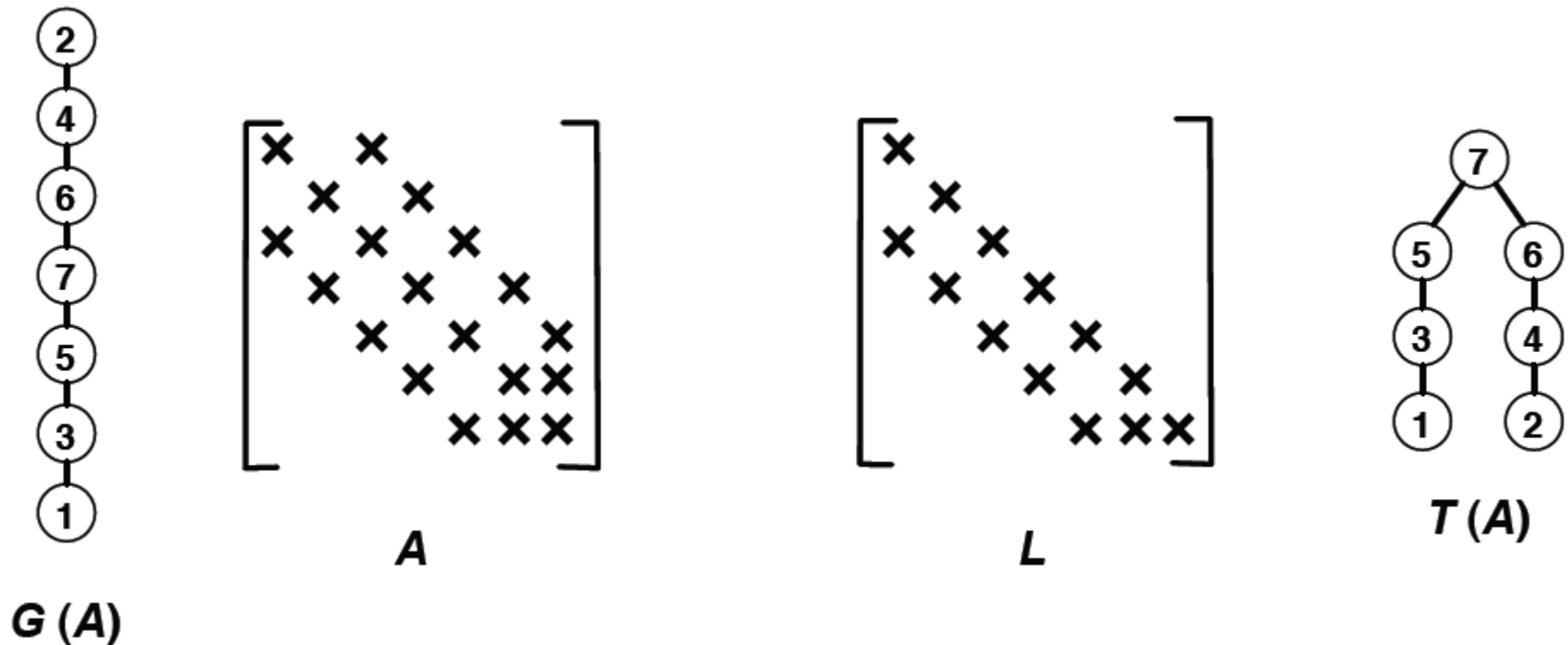
# Пример: трехдиагональная матрица

## □ Разложение без переупорядочивания



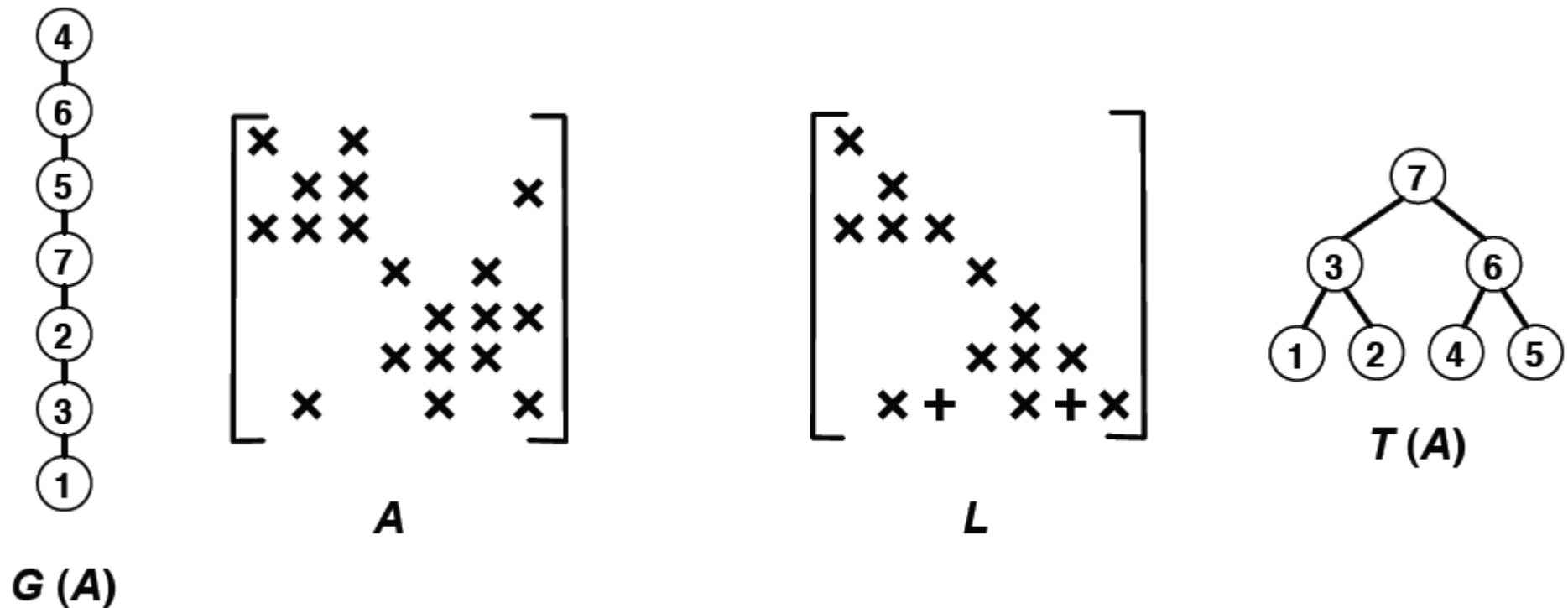
# Пример: трехдиагональная матрица

- Переупорядочивание методом минимальной степени



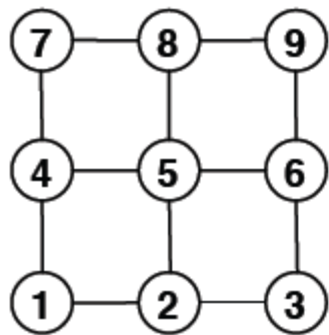
# Пример: трехдиагональная матрица

- Переупорядочивание методом вложенных сечений

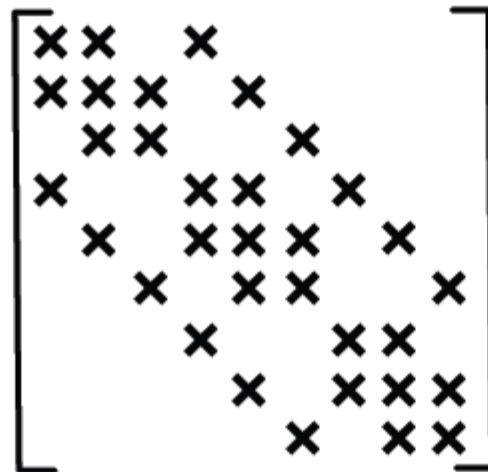


# Пример: пятидиагональная матрица

## □ Разложение без переупорядочивания



$G(A)$



$A$



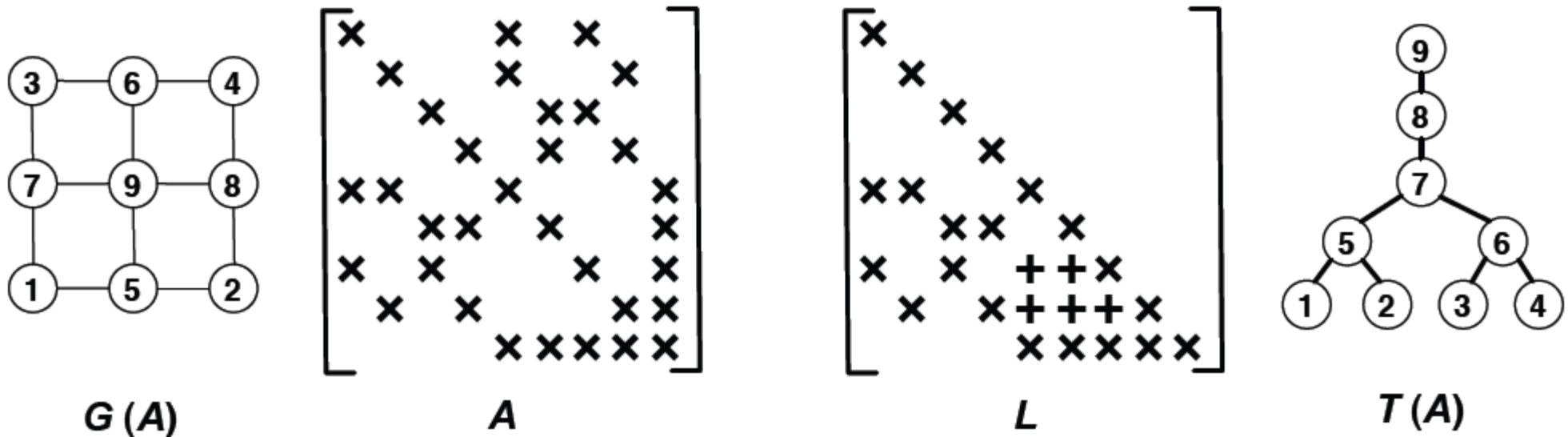
$L$



$T(A)$

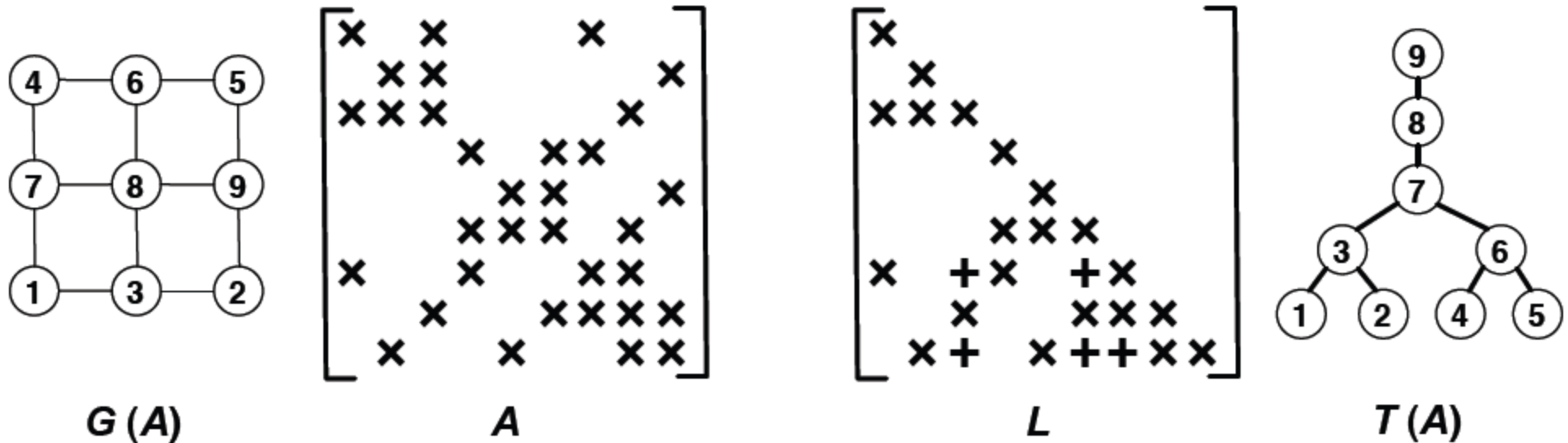
# Пример: пятидиагональная матрица

- Переупорядочивание методом минимальной степени



# Пример: пятидиагональная матрица

- Переупорядочивание методом вложенных сечений



# Результаты экспериментов

- ❑ Сравним высоту дерева исключения, получающегося при переупорядочивании матриц методами минимальной степени (MD) и вложенных сечений (ND).

	ND	MD
shallow_water2	930	1459
pwtk	5823	8062
parabolic_fem	2826	4891
cf2	6802	10723

- ❑ Переупорядочивание по методу ND дает дерево исключения с меньшей высотой, чем с использованием MD – лучшие свойства для распараллеливания



# Результаты экспериментов

- Время работы последовательного алгоритма  
 $T_1$  – символического разложения,  $T_2$  – численного разложения  
и  $T_3$  – обратного хода.

	$T_1$	$T_2$	$T_3$
shallow_water2	0,12	0,37	0,01
pwtk	4,96	53,87	0,26
parabolic_fem	1,62	7,78	0,12
cf2	4,78	91,04	0,23

- Наибольшее время -  $T_2$ , поэтому будем распараллеливать этап численного разложения
- Распараллеливание будем проводить, выделяя непересекающиеся поддеревья в дереве исключения и параллельно обрабатывая соответствующие столбцы матрицы

# Результаты экспериментов

- ❑ Время  $t$  (сек) и ускорение  $S$  параллельного численного разложения для разных матриц

Матрица	1 ПОТОК	Параллельное численное разложение							
		2 потока		4 потока		6 потоков		8 потоков	
		$t$	$S$		$S$	$t$	$S$	$t$	$S$
shallow_water2	0,34	0,23	1,47	0,22	1,57	0,20	1,69	0,22	1,57
pwtk	61,42	36,94	1,66	32,8	1,87	32,3	1,90	31,5	1,95
parabolic_fem	8,36	5,35	1,56	4,40	1,90	4,60	1,82	4,65	1,80
cfd2	86,05	74,9	1,15	67,4	1,28	68,8	1,25	62,6	1,38

# Заключение

---

## □ Рассмотренные вопросы

- Понятие, форматы хранения разреженной матрицы
- Разложение Холецкого для разреженных матриц
- Проблема заполнения фактора, переупорядочивание матрицы как метод снижения заполненности
- Графовая модель системы уравнений
  - Последовательность графов исключения, дерево исключения
- Переупорядочивание матрицы
  - Метод минимальной степени
  - Метод вложенных сечений
  - Ресурсы для параллелизма
- Примеры работы алгоритмов



# Литература

---

1. Джордж А., Лю Дж. Численное решение больших разреженных систем уравнений. — М.: Мир, 1984.
2. Писсанецки С. Технология разреженных матриц. — М.: Мир, 1988.
3. Белов С.А., Золотых Н.Ю. Численные методы линейной алгебры. — Н.Новгород, Изд-во ННГУ, 2005.

# Ресурсы сети Интернет

---

4. Intel Math Kernel Library Reference Manual.  
[<http://software.intel.com/sites/products/documentation/hpc/mkl/mklman.pdf>].



# Авторский коллектив

---

- ❑ Баркалов Константин Александрович,  
к.ф.-м.н., старший преподаватель кафедры  
Математического обеспечения ЭВМ факультета ВМК ННГУ.  
[barkalov@fup.unn.ru](mailto:barkalov@fup.unn.ru)
- ❑ Коды учебных программ разработаны Маловой Анной и  
Сафоновой Яной